

فصل ۵

نظریه نمونه برداری

مقدمه

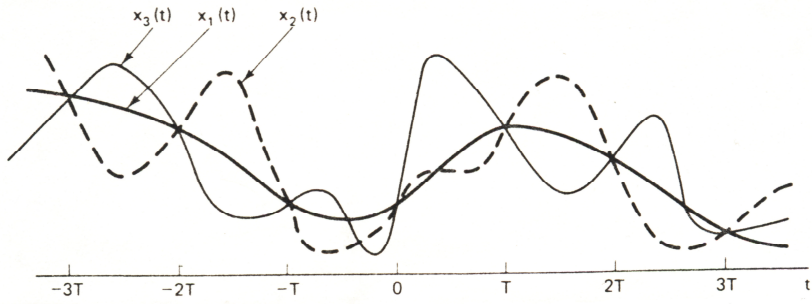
در حالتهای خاص اطلاعات یک سیگنال پیوسته زمانی (باند محدود) را می‌توان بطور کامل بوسیله اطلاعات موجود در نمونه‌هایی با فاصله زمانی مشخص از سیگنال برداشت کرد. این نتیجه از نظریه نمونه‌برداری بدست آمده است. این نمونه‌ها باید دارای یک حداکثر فاصله زمانی از هم باشند و اگر فاصله نمونه‌ها از هم بیشتر شود دیگر نمی‌توان سیگنال را از روی نمونه‌ها بازسازی کرد. این حقیقت که می‌توان یک سیگنال پیوسته را بطور کامل بوسیله نمونه‌های مجزا نمایش داد، باعث شده است تا ارتباط عمیقی میان سیگنال‌های پیوسته و گسسته زمانی بوجود آید. در بسیاری از حالات پردازش سیگنال گسسته زمانی بسیار ساده‌تر و قابل انعطاف‌تر است. چون این نوع پردازش‌ها را می‌توان بوسیله الگوریتم‌های خاصی با استفاده از کامپیوترها سرعت های بسیار بالا انجام داد. هم اکنون پردازش سیگنال‌های صوتی و تصویری توسط همین روش می‌گیرد. در این فصل ضمن بررسی انواع روش‌های نمونه‌برداری از سیگنال‌های پیوسته زمانی بخشی را به طریقه تبدیل نمونه‌های پیوسته زمان به دنباله گسسته زمان اختصاص خواهیم داد و نهایتاً پردازش گسسته زمان بر روی سیگنال‌های پیوسته زمان را مورد بحث قرار خواهیم داد.

۱-۵ نمایش سیگنال پیوسته زمانی بوسیله نمونه‌های آن (نظریه نمونه‌برداری)

در حالت کلی نباید انتظار داشت که نمونه‌برداری از سیگنال‌های مختلف در فواصل زمانی مشخص تمام اطلاعات موجود در سیگنال‌های مورد نظر را به ما بدهد. عنوان مثال سه سیگنال $x_1(t)$, $x_2(t)$ و $x_3(t)$ را در نظر بگیرید. تمام نمونه‌های این سیگنال‌ها در لحظات kT با هم برابرند یعنی

$$x_1(kT) = x_2(kT) = x_3(kT)$$

بنابراین در حالت کلی بی‌نهایت شکل موج وجود دارند که می‌توانند یکدسته نمونه‌های مشخص را بوجود آورند. اما اگر سیگنال باند محدود باشد و نمونه‌ها به اندازه کافی به هم نزدیک برداشته شوند یکدسته نمونه مشخص فقط یک سیگنال را برای ما بوجود خواهد آورد که این امر بصورت ریاضی مورد بررسی قرار خواهد گرفت. بطور حسی واضح است که اگر سرعت نمونه‌برداری از سیگنال، از سرعت تغییرات سیگنال خیلی بیشتر باشد، نمونه‌های حاصل بخوبی بیانگر نحوه تغییرات سیگنال خواهند بود. در این صورت به این نوع نمونه‌برداری، نمونه‌برداری موفقیت آمیز گفته می‌شود. اکنون لازم است رابطه میان سرعت نمونه‌برداری و سرعت تغییرات سیگنال را جهت نمونه‌برداری موفقیت آمیز مورد بررسی قرار دهیم. این رابطه در مورد انواع روش‌های نمونه‌برداری یکسان است و ما جهت سادگی آن را در مورد نمونه‌برداری ایده‌آل یا نمونه‌برداری به کمک قطار ضربه بدست می‌آوریم.

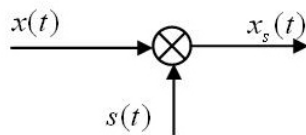


شکل (۱-۵): سه سیگنال پیوسته زمانی که دارای مقادیر یکسانی در لحظات kT هستند.

مزیت نمونهبرداری ایدهآل در سادگی محاسبات ریاضی میباشد. ولی همانطورکه میدانیم ساخت قطار ضربه که از $-\infty$ شروع شده و تا ∞ ادامه پیداکند غیرممکن است، حتی ساخت تقریبی آن نیز بدلیل وجود دوره نامحدود غیرممکن میباشد.

۲-۵ نمونهبرداری با قطار ضربه از سیگنال‌های باند محدود (حالت ایدهآل)

در بعضی موارد قطار ضربه^۱ به نام تابع نمونهبردار نیز معروف میباشد و دلیل آن هم قبل‌گفته شد. اکنون نشان خواهیم داد که جهت نمونهبرداری موفقیت‌آمیز باید دوره تناوب نمونهبرداری (T_s) با بالاترین مؤلفه فرکانسی سیگنال باند محدود رابطه خاصی داشته باشد. در اینجا تذکر این نکته فوق العاده ضروری است که نمونهبرداری فقط در مورد سیگنال‌های باند محدود میتواند موفقیت‌آمیز باشد و از سیگنال‌هایی که از لحاظ فرکانسی دارای باند نامحدود هستند نمیتوان بطور موفقیت‌آمیز نمونهبرداری کرد. سیستم نمونهبرداری به کمک قطار ضربه بصورت زیر میباشد.



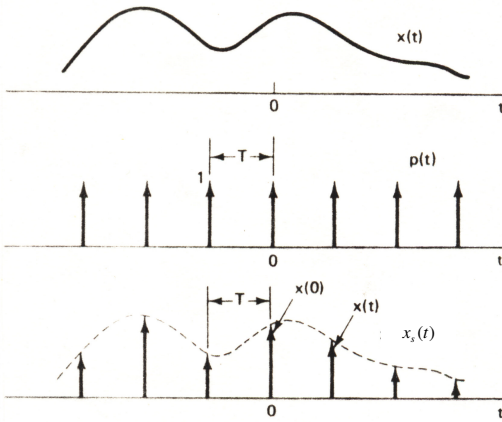
شکل (۲-۵): سیستم نمونهبرداری به کمک قطار ضربه از یک سیگنال باند محدود که در آن $s(t)$ یک قطار ضربه با دوره تناوب T_s میباشد.

$$s(t) = \sum_{n=-\infty}^{+\infty} \delta(t - nT_s) \quad (1-5)$$

همان‌گونه که بعداً توضیح خواهیم داد سیستم شکل (۲-۵) در حقیقت میان نوعی مدولاتور با حاملی بصورت قطار ضربه میباشد. یک نمونه از شکل سیگنال $x(t)$ و نمونه‌های آن در شکل (۳-۵) نمایش داده شده‌اند.

¹ Impulse Train

مقدمه ای بر تجزیه و تحلیل سیستمها



شکل (۳-۵): مدولاسیون دامنه با قطار ضربه

در این صورت داریم.

$$x_s(t) = x(t) \sum_{n=-\infty}^{+\infty} \delta(t - nT_s) \quad (۲-۵)$$

و یا

$$x_s(t) = \sum_{n=-\infty}^{+\infty} x(nT_s) \delta(t - nT_s) \quad (۳-۵)$$

و با توجه به خاصیت مدولاسیون که در فصل سوم مورد بحث قرار گرفت می‌توان ارتباط طیفی سیگنال‌ها را بصورت رابطه (۴-۵) نوشت.

$$X_s(\omega) = \frac{1}{2\pi} [X(\omega) \times S(\omega)] \quad (۴-۵)$$

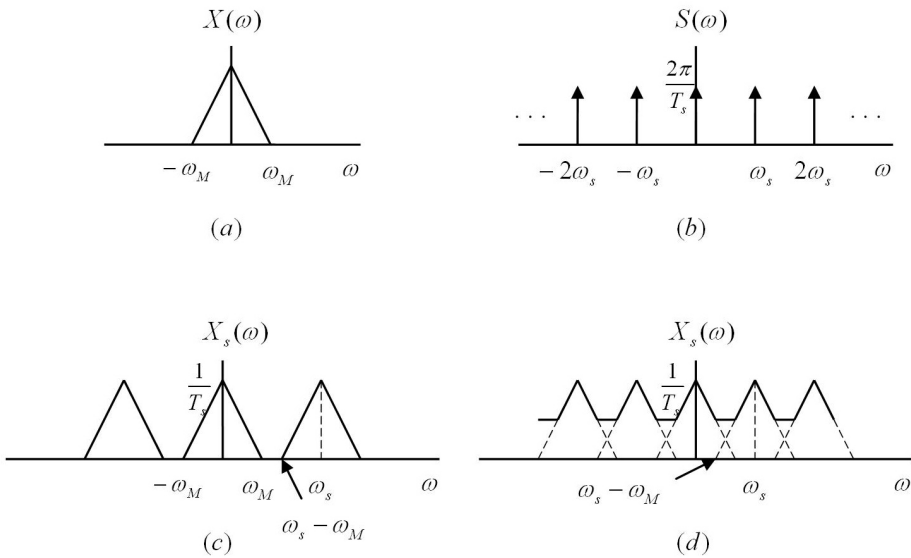
قبل‌آ داشتیم که تبدیل فوریه قطار ضربه خود نیز در حوزه فرکانس یک قطار ضربه به صورت زیر است.

$$S(\omega) = \frac{2\pi}{T_s} \sum_{k=-\infty}^{\infty} \delta(\omega - k\omega_s) \quad (۵-۵)$$

که در آن $\omega_s = \frac{2\pi}{T_s}$ می‌باشد. با قرار دادن (۵-۵) در (۴-۵) به (۶-۵) خواهیم رسید.

$$X_s(\omega) = \frac{1}{T_s} \sum_{K=-\infty}^{\infty} X(\omega - k\omega_s) \quad (۶-۵)$$

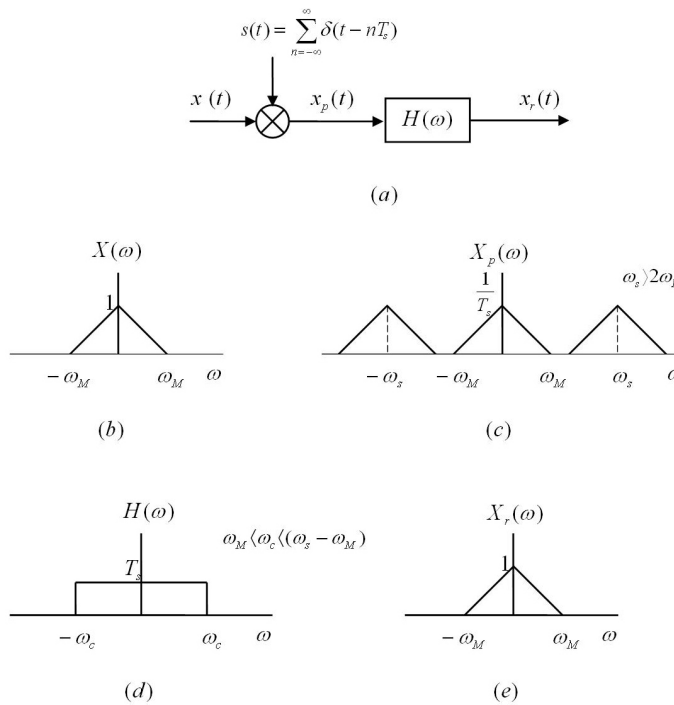
این رابطه به ما می‌گوید که $X_s(\omega)$ یکتابع تناوبی است که شامل مجموع انتقال‌هایی به اندازه ω_s از $X(\omega)$ با دامنه $\frac{1}{T_s}$ در حوزه فرکانس می‌باشد. این مطلب در شکل (۳-۴-۵) و (۴-۵) به ازاء دو مقدار متفاوت از ω_s نمایش داده شده است.



شکل (۴-۵): تأثیر نمونهبرداری بر طیف سیگنال‌ها a) طیف سیگنال اصلی b) طیف سیگنال نمونهبردار c) طیف سیگنال نمونهبرداری شده با d) همان طیف با $\omega_s < 2\omega_M$ در این صورت هیچ‌گونه تداخلی از شکل (۴-۵) پیدا است که اگر $\omega_M - \omega_s < \omega_s < 2\omega_M$ یا $\omega_s > 2\omega_M$ در این صورت هیچ‌گونه تداخلی بین طیف‌های فرکانسی انتقال داده شده بوجود نخواهد آمد، و مانند این است که $X(\omega)$ در هر فاصله با دوره تناسب ω_s در حوزه فرکانس تکرار شود.

نتیجتاً اگر $\omega_s > 2\omega_M$ باشد، می‌توان $x(t)$ را بطور کامل از $x_s(t)$ بوسیله عبور نمونه‌های $x_s(t)$ از یک فیلتر پایین‌گذر با بهره T_s بازسازی نمود. البته باید فرکانس قطع فیلتر بزرگتر از ω_M و کوچکتر از $\omega_s - \omega_M$ باشد (به شکل (۵-۵) توجه کنید).
اما اگر $\omega_s < 2\omega_M$ باشد در این صورت تداخل ایجاد می‌شود. [شکل (۴-۵)] و امکان بازسازی $x(t)$ از روی نمونه‌ها وجود ندارد. این بدین مفهوم است که نمونه‌ها به اندازه کافی به هم نزدیک نیستند.
نحوه بازسازی $x(t)$ از روی $x_s(t)$ در شکل (۵-۵) نمایش داده شده است.

مقدمه ای بر تجزیه و تحلیل سیستمها



شکل (۵) : بازسازی دقیق سیگنال از روی نمونه های آن بوسیله فیلتر پایین گذر بنابراین اکنون ارتباط مطلوب میان سرعت نمونه برداری و بالاترین مؤلفه فرکانسی موجود در طیف سیگنال باند محدود جهت نمونه برداری موفقیت آمیز را می توان بصورت زیر نوشت.

$$\omega_s \geq 2\omega_M \quad (7-5)$$

و یا

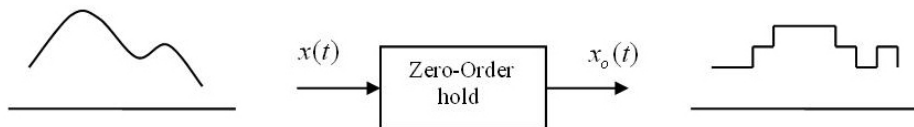
$$\frac{2\pi}{T_s} \geq 2\omega_M \quad (8-5)$$

رابطه (۷-۵) به نرخ نایکوئیست^۱ جهت نمونه برداری موفقیت آمیز از سیگنال های باند محدود معروف است. از همین جا نیز می توان پی به این حقیقت برد که در مورد سیگنال هایی که در حوزه فرکانس دارای باند نامحدود هستند هر گز نمی توان نامساوی (۷-۵) یا شرط نایکوئیست را ارضاء نمود، چون در مورد این گونه سیگنال ها ω_M بسمت بی نهایت میل می نماید.

^۱ Nyquist Rate

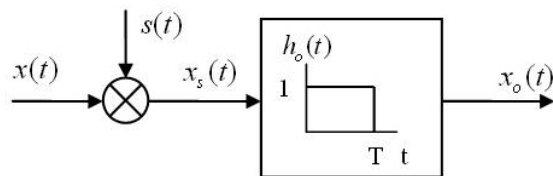
۳-۵ نمونهبرداری به کمک مدار نگهدارنده مرتبه صفر^۱

طبق نظریه نمونهبرداری می‌توان یک سیگنال باند محدود را بطور کامل توسط نمونه‌ها بازسازی نمود. اگرچه این نتیجه حاصلی از نمونهبرداری ایده‌آل می‌باشد، اما در موارد عملی نیز دقیقاً صادق است. یکی از سیستم‌هایی که در عمل جهت نمونهبرداری مورداستفاده قرار می‌گیرد سیستمی است که در آن مقدار نمونه‌های برداشته شده در هر لحظه تا زمان نمونه بعدی نگه داشته می‌شوند. نمونه‌ای از سیگنال و نمونه‌های آن در شکل (۶-۵) نمایش داده می‌شود.

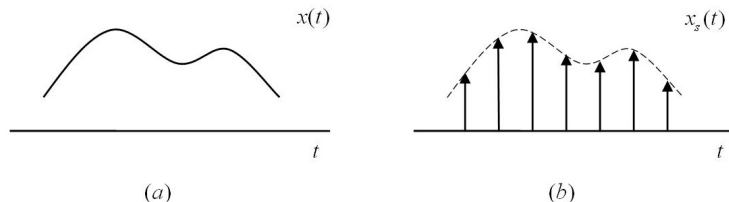


شکل (۶-۵): نمونهبرداری به کمک مدار Z.O.H

در این نوع نمونهبرداری بازسازی ($x_0(t)$) از $x(t)$ بوسیله یک مدار LPF که در باند عبور دارای بهره متغیر است امکان‌پذیر است. برای روشن تر شدن موضوع ابتدا توجه کنید که $x_0(t)$ یا خروجی مدار ZOH را می‌توان بوسیله سیستم زیر نیز تولید کرد.

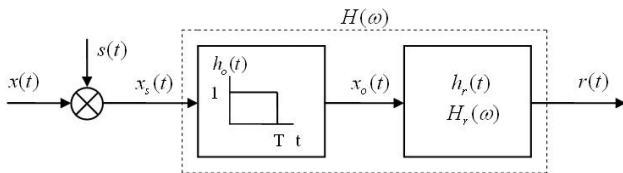


شکل (۷-۵): سیستم معادل جهت نمونهبرداری Z.O.H سیگنال‌های هر قسمت در شکل ۸-۵ نمایش داده شده اند.



شکل (۸-۵): توصیف دقیق ZOH بصورت نمونهبرداری با قطع ضربه به همراه کانولوشن با پالس مربعی.

^۱ Zero Order Hold(Z.O.H)



شکل (۹-۵): اتصال سری مدار ZOH به همراه مدار بازساز

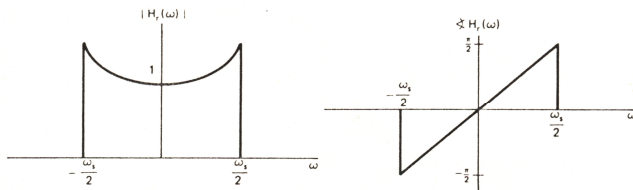
مراحل تولید نمونه‌های سیگنال به روش ZOH بدین صورت است که ابتدا به روش نمونه‌برداری ایده‌آل ($x_s(t)$) را بوجود می‌آوریم و بعد سیگنال ($x_s(t)$) را از یک سیستم LTI با پاسخ ضربه ($h_0(t)$) عبور می‌دهیم. خروجی همان ($x_0(t)$) خواهد بود. اما برای بازسازی سیگنال ($x(t)$) از روی ($x_s(t)$) قبلاً گفتیم که باید ($x_s(t)$) را از یک فیلتر پایین‌گذر ایده‌آل عبور داد. بنابراین با توجه به شکل (۹-۵) باید ($H_r(\omega)$) بگونه‌ای باشد که حاصل‌ضرب ($H_0(\omega)H_r(\omega)$) معادل یک فیلتر پایین‌گذر ایده‌آل گردد. به عبارت دیگر چون

$$H_0(\omega) = e^{-\frac{j\omega T}{2}} \left(2 \frac{\sin(\omega T/2)}{\omega} \right) \quad (9-5)$$

لازم است که

$$H_r(\omega) = \frac{e^{\frac{j\omega T}{2}} H(\omega)}{\left[\frac{2 \sin(\omega T/2)}{\omega} \right]} \quad (10-5)$$

در این صورت اگر ($H(\omega)$) مشخصه یک فیلتر LPF باشد، خروجی سیستم، ($H_r(\omega)$) همان ($x(t)$ منتها با تغییر اندازی در دامنه خواهد بود.

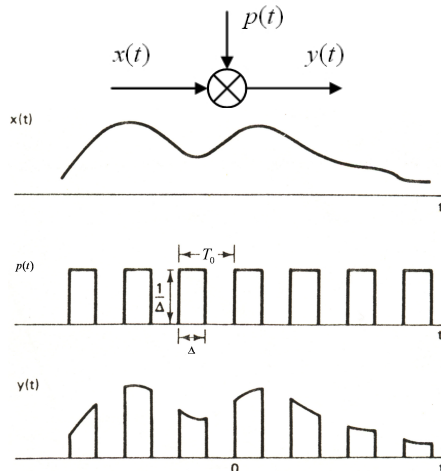


شکل (۱۰-۵): دامنه و فاز مربوط به فیلتر بازسازی برای ZOH

۴-۵ نمونه‌برداری بوسیله پالس

روش دیگری که بطور عملی جهت نمونه‌برداری از سیگنالهای پیوسته مورد استفاده قرار می‌گیرد نمونه‌برداری به کمک قطار پالس^۱ (بجای قطار ضربه) می‌باشد. در این صورت مدار نمونه‌برداری و نمایش سیگنالها بصورت زیر است.

¹ Pulse Train



شکل (۱۱-۵): نمونهبرداری به کمک قطار پالس ، هنگامی که $p(t) \rightarrow 0$ ، $\Delta \rightarrow 0$ ، تبدیل فوریه $p(t)$ به این صورت است.

$$P(\omega) = 2\pi \sum_{k=-\infty}^{\infty} a_k \delta(\omega - k\omega_0) \quad (11-5)$$

که در آن a_k ضرایب سری فوریه $p(t)$ میباشند و $\omega_0 = \frac{2\pi}{T_0}$

ضرایب a_k به صورت زیر بدست می آیند.
(12-5)

$$a_k = \int_0^{\Delta} \frac{1}{\Delta T_0} e^{-j\frac{2\pi}{T_0} k t} dt = -\frac{1}{j \frac{2k\Delta\pi}{T_0}} e^{-j\frac{2\pi}{T_0} kt} \Big|_0^{\Delta} = -\frac{1}{j 2k\Delta\pi} [e^{-j\frac{\pi}{T_0} k\Delta} - e^{j\frac{\pi}{T_0} k\Delta}] = e^{-j\frac{\pi}{T_0} k\Delta} \frac{1}{k\Delta\pi} \sin\left(\frac{\pi}{T_0} k\Delta\right), \quad k \neq 0$$

و برای $k=0$ خواهیم داشت.

$$a_k = \frac{1}{T_0} \quad (13-5)$$

بنابراین داریم.

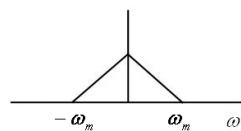
$$P(\omega) = \sum_{k=-\infty}^{\infty} \frac{2}{k\Delta} e^{-j\frac{\pi}{T_0} k\Delta} \sin\left(\frac{\pi}{T_0} k\Delta\right) \delta(\omega - \frac{2k\pi}{T_0}) \quad (14-5)$$

و در نتیجه

$$Y(\omega) = \sum_{k=-\infty}^{\infty} \frac{1}{k\Delta\pi} e^{-j\frac{\pi}{T_0} k\Delta} \sin\left(\frac{\pi}{T_0} k\Delta\right) X(\omega - \frac{2k\pi}{T_0}) \quad (15-5)$$

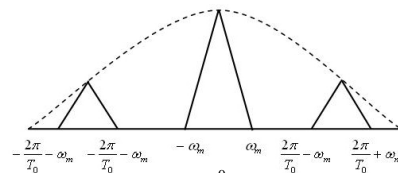
اگر فرض کنیم $x(t)$ دارای طیفی بصورت شکل ۱۲-۵ باشد.

$X(\omega)$



شکل (۱۲-۵): طیف سیگنال $x(t)$

در آن صورت طیف $(Y(\omega))$ بصورت شکل (۱۳-۵) خواهد شد.



شکل (۱۳-۵): طیف سیگنال نمونهبرداری شده

با توجه به طیف $(Y(\omega))$ باز هم میبینیم شرط نایکوئیست جهت نمونهبرداری موفقیتآمیز در مورد نمونهبرداری با قطار پالس نیز صادق است. بنابراین اگر

$$\frac{2\pi}{T_0} \geq 2\omega_m \quad (16-5)$$

در آن صورت به کمک یک فیلتر پایین‌گذر می‌توان دوباره سیگنال اصلی را بازسازی کرد.

۵-۵ درون یابی^۱ یا بازسازی سیگنال از روی نمونه‌های برداشته شده

درون یابی روشی است که برای بازسازی سیگنال چه بطور دقیق و چه بطور تقریبی از روی نمونه‌ها بکار برده می‌شود. یکی از ساده‌ترین روش‌های درون یابی استفاده از مدار ZOH می‌باشد. یکی دیگر از روش‌های بازسازی خطی^۲ می‌باشد که در آن قله‌های هر نمونه بوسیله یک خط راست به نمونه بعدی متصل می‌شود.



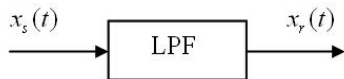
شکل (۱۴-۵): بازسازی خطی بین نقاط نمونه خط چین سیگنال اصلی

قبل‌گفتیم که اگر سیگنال باند محدود و فاصله نمونه‌ها به اندازه کافی کم باشد، در آن صورت می‌توان با عبور نمونه‌ها از یک فیلتر پایین‌گذر ایده‌آل بطور کامل سیگنال را بازسازی کرد. نحوه عمل بازسازی سیگنال از روی نمونه‌ها که توسط فیلتر پایین‌گذر ایده‌آل صورت می‌پذیرد را در حوزه زمان بهتر می‌توان توضیح داد. سیستم شکل (۱۵-۵) را در نظر بگیرید. خروجی مدار LPF از رابطه زیر بدست می‌آید.

¹ Interpolation

² Linear Interpolation

$$x_r(t) = x_s(t) * h(t)$$



شکل (۱۵-۵): مدار بازسازی ایدهآل

اما می‌دانیم که

$$x_s(t) = \sum_{n=-\infty}^{\infty} x(nT_s) \delta(t - nT_s)$$

بنابراین

$$x_r(t) = \sum_{n=-\infty}^{\infty} x(nT_s) h(t - nT_s) \quad (۱۸-۵)$$

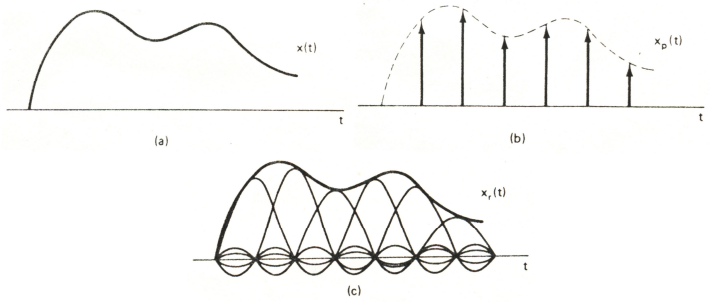
معادله فوق یک فرمول بازسازی است. اما برای فیلتر LPF با فرکانس قطع ω_c و بهره T_s پاسخ ضربه بصورت زیر است.

$$h(t) = T_s \frac{\omega_c}{\pi} Sinc\left(\frac{\omega_c t}{\pi}\right) \quad (۱۹-۵)$$

با جایگذاری رابطه (۱۹-۵) در (۱۸-۵) رابطه (۲۰-۵) بدست می‌آید.

$$x_r(t) = \sum_{n=-\infty}^{\infty} x(nT_s) T_s \frac{\omega_c}{\pi} Sinc\left[\frac{\omega_c(t-nT_s)}{\pi}\right] \quad (۲۰-۵)$$

عمل بازسازی سیگنال با فرمول فوق وقتی که $\omega_c = \frac{\omega_s}{2}$ است در شکل (۱۶-۵) نمایش داده شده است.



شکل (۱۶-۵): بازسازی ایدهآل سیگنال باند محدود به کمک توابع Sinc

رابطه (۲۰-۵) حاوی نکات جالبی می‌باشد. یکی از آنها این است که هر سیگنال باند محدود ($x(t)$) را می‌توان بصورت مجموعه‌ای از بینهایت توابع Sinc (فرمول (۲۰-۵)) نمایش داد مشروط بر آنکه $\omega_s \geq 2\omega_c$ باشد که در آن ω_c بیشترین مولفه فرکانسی موجود در سیگنال می‌باشد. مثال (۱-۵): ثابت کنید.

$$\text{Cos}(\omega_c t) = \sum_{n=-\infty}^{\infty} Sinc\left[\frac{t-nT_s}{T_s}\right] \quad (۲۱-۵)$$

مقدمه ای بر تجزیه و تحلیل سیستمهای

$$T_s = \frac{\pi}{\omega_c}$$

حل: با توجه به رابطه (۲۰-۵) جهت نمونهبرداری از سیگنال باند محدود $\text{Cos}\omega_c t$ کافی است فاصله نمونهها کمتر یا مساوی $\frac{\pi}{\omega_c}$ باشد. در این صورت رابطه (۲۰-۵) صادق است و با توجه به رابطه زیر

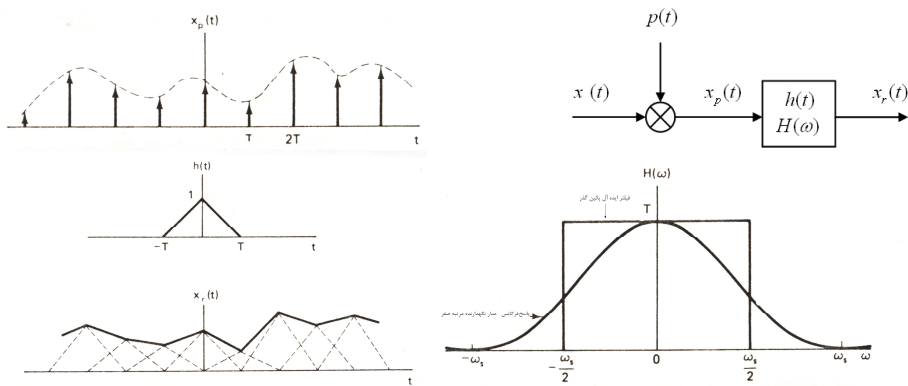
$$\text{Cos}(\omega_c n T_s) = \text{Cos}(n\pi) = (-1)^n \quad (22-5)$$

رابطه (۲۱-۵) خود به خود ثابت است.

توجه شود که رابطهای به شکل (۲۱-۵) به کمک روش‌های معمولی بسادگی قابل اثبات نمی‌باشد ولی همانطور که دیدیم به کمک نظریه نمونهبرداری به سادگی به اثبات می‌رسد.

بازسازی به روش فوق را معمولاً بازسازی باند محدود می‌نمایند چون اگر $x(t)$ باند محدود باشد به کمک روش فوق می‌توان دقیقاً $x(t)$ را بازسازی نمود. اما چون ساخت فیلتر پایین‌گذرا ایده‌آل غیر ممکن است، معمولاً به روش‌های ساده‌تری از فیلتر کردن (یا به عبارت معادل بازسازی کردن) دست می‌یابند که یکی از آنها استفاده از مدار ZOH با پاسخ ضربه $h_0(t)$ است که پاسخ فرکانسی آن در شکل (۱۰-۵) رسم شده است. بنابراین (t) h_0 یک تقریب برای فیلتر LPF ایده‌آل است. همانطور که از شکل (۱۰-۵) پیدا است تقریب فوق چندان تقریب خوبی نیست ولی در بسیاری از موارد همین تقریب نیز کافی است.

اما همانگونه که گفتیم روش دیگری که اغلب مورد استفاده قرار می‌گیرد بازسازی خطی است که در آن سیگنال بازسازی شده پیوسته ولی مشتقاتش پیوسته نیستند. در بعضی موارد سیستم بازساز خطی به سیستم نگهدارنده مرتبه اول^۱ معروف است. روش فوق در شکل (۱۷-۵) نمایش داده شده است.



شکل (۱۷-۵): بازسازی خطی (نگهدار مرتبه اول) بصورت نمونهبرداری قطر ضربه که با پاسخ ضربه مثلثی کانوال شده است.

¹ First Order Hold (FOH)

به سادگی می‌توان تابع تبدیل $H(\omega)$ را بدست آورد.

$$H(\omega) = \left(\frac{\sin\left(\frac{\omega T}{2}\right)}{\frac{\omega T}{2}} \right)^2 \quad (23-5)$$

که در شکل (17-5) دامنه $H(\omega)$ را بر روی دامنه فیلتر پایین‌گذر ایده‌آل منطبق کرده‌ایم و می‌بینیم که شباهت آن به فیلتر LPF بیشتر از شباهت $H_0(\omega)$ به فیلتر LPF می‌باشد.

۶-۵ اثر تداخل^۱

در قسمت‌های گذشته فرض ما بر این بود که فرکانس نمونهبرداری به اندازه کافی بزرگ است، یعنی $\omega_s > 2\omega_m$ است، در نتیجه پدیده تداخل رخ نمی‌دهد. هنگامی که $\omega_s < 2\omega_m$ باشد در آن صورت نمی‌توان $x(t)$ را از روی سیگنال $X_s(t)$ ساخت، چون در حوزه فرکانس پدیده تداخل به وجود می‌آید. اما به هر حال سیگنال $x_r(t)$ در نقاط نمونهبرداری مساوی $x(t)$ است. به عبارت دیگر بدون توجه به مقدار ω_s داریم.

$$x_r(nT) = x(nT) \quad n = 0, \pm 1, \pm 2, \dots \quad (24-5)$$

بعنوان مثال فرض کنید $X(\omega) = \cos(\omega_0 t)$ است. در این شکل ضربه در فرکانس‌های مثبت و منفی جهت تشخیص به دو صورت رسم شده است. $X_s(\omega)$ و طیف سیگنال نمونهبرداری شده را در نظر می‌گیریم و توجه خود را به تغییرات ω_0 و فرکانس نمونهبرداری ω_s معطوف می‌کنیم. در شکل (18-5) $X_s(\omega)$ را برای مقادیر مختلف ω_0 رسم کرده‌ایم (فرض کرده‌ایم که ω_s ثابت است). شکل پاسخ فیلتر ایده‌آل نیز به صورت خط چین نشان داده شده است. دیده می‌شود که در حالتی که $\omega_0 / 2 < \omega_s$ است هیچ‌گونه تداخلی به وجود نمی‌آید (شکل‌های ۱۸-۵ b، c و e). ولی به ازاء $\omega_0 / 2 > \omega_s$ پدیده تداخل در شکل‌های (d) پیدا است. برای هر یک از چهار حالت خروجی فیلتر LPF یا $x_r(t)$ چنین است.

$$\omega_0 = \frac{\omega_s}{6} \quad \text{و} \quad x_r(t) = \cos \omega_0 t = x(t) \quad (b)$$

$$\omega_0 = \frac{2\omega_s}{6} \quad \text{و} \quad x_r(t) = \cos \omega_0 t = x(t) \quad (c) \quad (25-5)$$

$$\omega_0 = \frac{4\omega_s}{6} \quad \text{و} \quad x_r(t) = \cos(\omega_s - \omega_0)t \neq x(t) \quad (d)$$

$$\omega_0 = \frac{5\omega_s}{6} \quad \text{و} \quad x_r(t) = \cos(\omega_s - \omega_0)t \neq x(t) \quad (e)$$

هنگام به وجود آمدن پدیده تداخل فرکانس واقعی ω_0 جای خود را به فرکانس عاریتی (مجازی)^۲ می‌دهد.

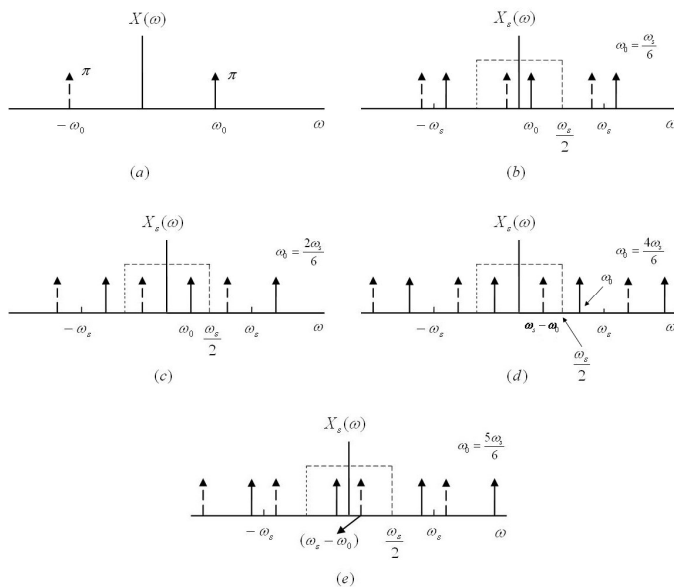
¹ Aliasing

² Virtual Frequency

مقدمه ای بر تجزیه و تحلیل سیستمها

برای $\omega_s < \omega_0 < \frac{\omega_s}{2}$ با افزایش ω_0 نسبت به ω_s فرکانس خروجی $\omega_0 - \omega_s$ کاهش می‌یابد.

هنگامی که $\omega_s = \omega_0$ شود. در آنصورت سیگنال بازسازی شده یک مقدار dC یا ثابت خواهد بود. این حالت مبین این واقعیت است که هنگامی که نمونه‌برداری یکبار دره سیکل انجام شود تمام نمونه‌های برداشته شده دارای دامنه یکسان خواهد بود و به نظر می‌رسد که هیچ تغییراتی ندارد یا $\omega_0 = 0$ است. در شکل (۱۸-۵) سیگنال اصلی نمونه برداشته شده و سیگنال بازسازی شده ترسیم شده‌اند.

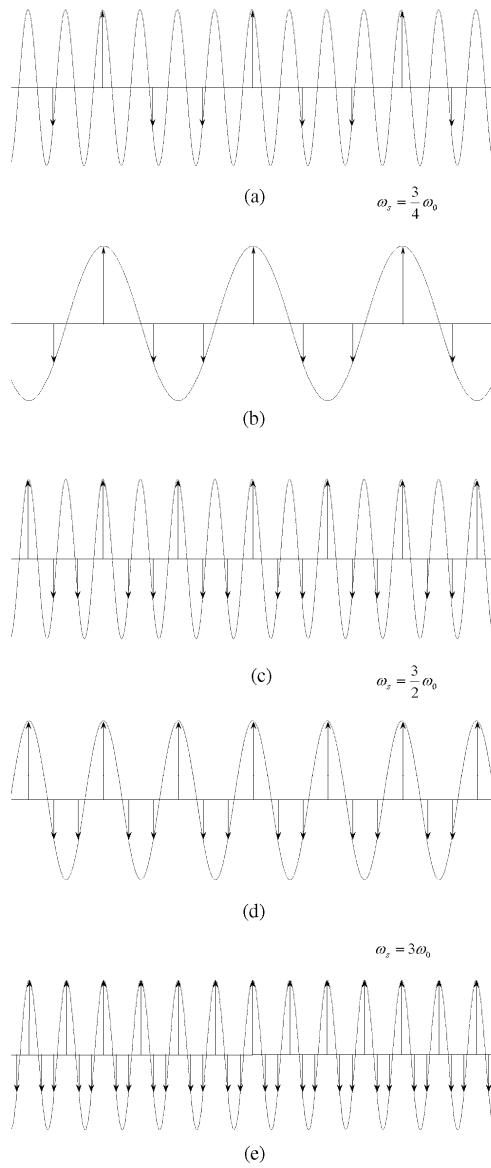


شکل (۱۸-۵): نمایش تأثیر فرکانس‌های بیشتر و کمتر از فرکانس نمونه‌برداری در حوزه فرکانس. (a) طیف سیگنال سینوسی اولیه (b,c) طیف سیگنال نمونه‌برداری شده با $\omega_s < 2\omega_m$. (d,e) طیف سیگنال نمونه‌برداری شده با $\omega_s > 2\omega_m$.

در شکل (۱۹-۵) سیگنال (t) x بصورت خطوط پرنگ رسم شده‌اند. همچنین نمونه‌های برداشته شده و سیگنال بازسازی شده از روی نمونه‌ها با خطچین رسم شده‌اند. از این شکل‌ها به خوبی می‌توان چگونگی بازسازی یا درون یابی را مشاهده کرد. اثر تداخل که باعث انعکاس فرکانس‌های بالاتر به فرکانس‌های پایین تراست را نیز می‌توان در شکل‌های (c,d) مشاهده کرد. چون در این حالت فرکانس نمونه‌برداری ω_s از دو برابر فرکانس ω_0 کمتر است ($\omega_s = \frac{6}{5}\omega_0$) و بنابراین سیگنال بازسازی شده دارای فرکانس زیر است.

$$\omega_s - \omega_0 = \frac{6}{5}\omega_0 - \omega_0 = \frac{1}{5}\omega_0 \quad (۲۶-۵)$$

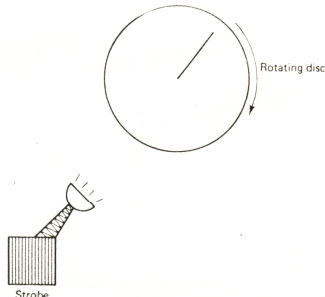
فصل پنجم: نظریه نمونه برداری



شکل (۱۹-۵): تأثیر تداخل روی سیگنال سینوسی برای مقادیر مختلف فرکانس نمونه برداری (a) سیگنال سینوسی اولیه با فرکانس ω_0 و نمونه های گرفته شده با فرکانس ω_s (b) سیگنال بازسازی شده از نمونه های گرفته شده از سیگنال اصلی با فرکانس نمونه برداری $\omega_s = \frac{3\omega_0}{4}$ (c) سیگنال بازسازی شده با فرکانس نمونه برداری $\omega_s = \frac{3\omega_0}{2}$ (d) سیگنال بازسازی شده از نمونه های گرفته شده از سیگنال اصلی با فرکانس نمونه برداری $\omega_s = 3\omega_0$ و نمونه های گرفته شده با فرکانس $\omega_s = \frac{3\omega_0}{2}$ (e) سیگنال بازسازی شده از نمونه های گرفته شده از سیگنال اصلی با فرکانس نمونه برداری $\omega_s = \frac{3\omega_0}{2}$ در (b) و (d) پدیده تداخل رخ می دهد در حالی که در (e) تداخل رخ نمی دهد.

مقدمه ای بر تجزیه و تحلیل سیستمها

در واقع نمونه برداری آهسته باعث شده است که فرکانس های بالاتر به فرکانس های پایین منعکس شوند. این واقعیت را با آزمایش ساده شکل (۲۰-۵) می توان تحقیق کرد.



شکل (۲۰-۵): چراغ چشمکنن و دیسک چرخان

دیسک با سرعت مشخص در حال گردش است. خطوط شعاعی منفرگی که روی آن ترسیم شده است را در نظر بگیرید. چراغی را که با سرعت های مختلف و بطور متناوب روشن و خاموش می شود^۱ را بعنوان سیستم نمونه بردار فرض کنید. هنگامی که فرکانس فلاش خیلی بیشتر از سرعت چرخش دیسک باشد سرعت چرخش صفحه بطور صحیح از چرخش خط شعاعی دیده می شود. هنگامی که سرعت فلاش کمتر و کمتر شود تا جایی که کمتر از دو برابر سرعت چرخش صفحه شود، به نظر می رسد سرعت چرخش صفحه کمتر از مقدار قبلی است (البته با جهمت عکس). اگر سرعت فلاش یکبار در هر دور صفحه باشد بنظر می رسد که صفحه ثابت است و چرخشی ندارد.

۷-۵ نمونه برداری در حوزه فرکانس

نظریه نمونه برداری که در قسمت های قبلی این فصل برای حوزه زمان در مورد سیگنال های باند محدود مطرح شد، در حوزه فرکانس بصورت دوگان حوزه زمان قابل تعریف است. بعبارت دیگر یک نوع دوگانی بین حوزه زمان و فرکانس در نظریه نمونه برداری مشاهده می گردد. قبلاً دیدیم که جهت نمونه برداری موفقیت آمیز لازم است سیگنال در حوزه فرکانس دارای باند محدود باشد. بنابراین انتظار داریم نمونه برداری در حوزه فرکانس فقط برای سیگنال هایی که در حوزه زمان دارای دوره محدود هستند، موفقیت آمیز باشد. حقیقت امر نیز همین است و نمونه برداری موفقیت آمیز در حوزه فرکانس مستلزم دوره محدود بودن سیگنال در حوزه زمان می باشد.

در این قسمت روش نمونه برداری فرکانسی از یک سیگنال زمان محدود که در حوزه فرکانس نامحدود است را مورد بررسی قرار می دهیم. توجه داشته باشید که بر اساس نظریه نمونه برداری نمی توان از این سیگنال ها در حوزه زمان نمونه برداری کرد چون پهنه ای باند آنها بی نهایت است برای بررسی مفصل تر این موضوع سیستم نمونه بردار در حوزه فرکانس را بصورت شکل (۲۱-۵) در نظر بگیرید. توجه شود

¹ Flasher

فصل پنجم: نظریه نمونهبرداری

که سیستم ضربکننده در حقیقت یک ضربکننده در حوزه فرکانس میباشد که معادل حوزه زمانی آن کانولوشن میباشد.
در اینجا داریم.

$$\bar{X}(\omega) = X(\omega)P(\omega) \quad (27-5)$$

در حوزه زمان داریم.
(28-5)

$$\bar{x}(t) = x(t) * p(t) \quad \text{که در آن}$$

$$p(t) = \frac{1}{\omega_0} \sum_{k=-\infty}^{+\infty} \delta(t - \frac{2\pi}{\omega_0} k) \quad (30-5)$$

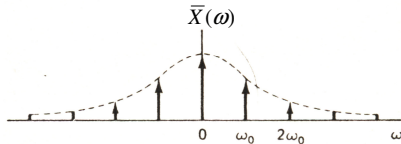
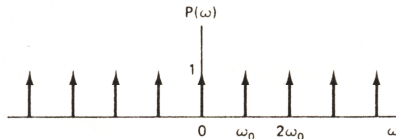
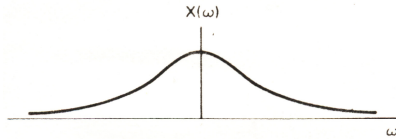
بنابراین

$$\bar{x}(t) = \frac{1}{\omega_0} \sum_{k=-\infty}^{+\infty} x(t - \frac{2\pi k}{\omega_0}) \quad (31-5)$$

معادله (31-5) دوگان معادله (8-5) است.

$$\xrightarrow{X(\omega)} \otimes \xrightarrow{\bar{X}(\omega) = X(\omega)P(\omega) = \sum_{k=-\infty}^{\infty} X(k\omega_0)\delta(\omega - k\omega_0)}$$

$$P(\omega) = \sum_{k=-\infty}^{\infty} \delta(\omega - k\omega_0)$$



(b)

شکل (31-5): نمونهبرداری به کمک قطوار ضربه در حوزه فرکانس (a) سیستم اصلی (b) طیف های مربوط به $\bar{X}(\omega)$ و $P(\omega)$ و $X(\omega)$

مقدمه ای بر تجزیه و تحلیل سیستمهای

اگر $x(t)$ زمان محدود باشد یعنی

$$x(t) = 0 \quad , |t| > T_m \quad (32-5)$$

در این صورت همان‌گونه که در شکل (۳۲-۵) نمایش داده شده است با انتخاب

$$\frac{2\pi}{\omega_0} > 2T_m \quad (33-5)$$

$T_0 = \frac{2\pi}{\omega_0}$ که در معامله (۳۱-۵) داده شده است شامل $x(t)$ و انتقال یافته‌های آن به اندازه

می‌باشد که در حوزه زمان هیچ‌گونه تداخلی با هم ندارند. در این حالت سیگنال اصلی $x(t)$ و بالطبع

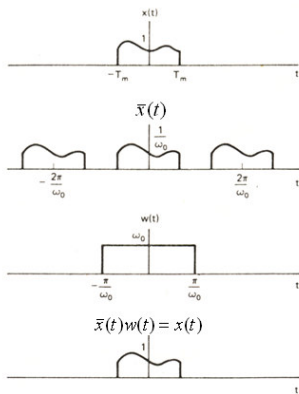
تبديل فوريه آن $X(\omega)$ را می‌توان با انجام عمل پنجره پایین‌گذر زمانی^۱ از سیگنال $\bar{x}(t)$ جدا کرد

$$x(t) = \bar{x}(t)w(t) \quad (34-5)$$

که در آن

$$w(t) = \begin{cases} \omega_0 & |t| \leq \frac{\pi}{\omega_0} \\ 0 & |t| > \frac{\pi}{\omega_0} \end{cases} \quad (35-5)$$

سیگنال‌های مراحل فوق در شکل (۲۲-۵) نمایش داده شده‌اند.



شکل (۳۲-۵): شکل موج حوزه زمانی، مربوط به نمونه‌برداری حوزه فرکانس

اگر نامساوی (۳۳-۵) صادق نباشد در آن صورت نمی‌توان $x(t)$ را از $\bar{x}(t)$ جدا کرد چون $x(t)$ با انتقال یافته‌هایش تداخل پیدا می‌کند این نوع تداخل دوگان تداخل حوزه فرکانس است که قبلاً شرح داده شد.

¹ low-time windowing

فصل پنجم: نظریه نمونهبرداری

در مقایسه با آنچه در مورد بازسازی گفتیم می‌توان گفت عملکرد پنجره پایین‌گذر زمانی روی سیگنال کار بازسازی روی نمونه‌های $X(\omega)$ را در حوزه فرکانس انجام می‌دهد از معامله (۳۴-۵) داریم.

$$X(\omega) = \frac{1}{2\pi} [\bar{X}(\omega) * W(\omega)] \quad (36-5)$$

که در آن

$$\bar{X}(\omega) = \sum_{k=-\infty}^{+\infty} X(k\omega_0)\delta(\omega - k\omega_0) \quad (37-5)$$

و $W(\omega)$ تبدیل فوریه $w(t)$ است. یعنی

$$W(\omega) = 2\pi \text{Sinc}\left(\frac{\omega}{\omega_0}\right) \quad (38-5)$$

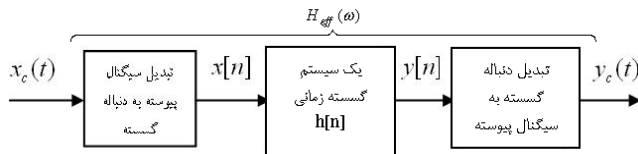
با ترکیب معادلات (۳۶-۵) و (۳۷-۵) داریم.

$$X(\omega) = \sum_{k=-\infty}^{+\infty} X(k\omega_0) \text{Sinc}\left(\frac{\omega - k\omega_0}{\omega_0}\right) \quad (39-5)$$

که این معادله نیز دوگان (۲۰-۵) است.

۸-۵ پردازش گستته زمانی بر روی سیگنال‌های پیوسته زمانی^۱

در بسیاری از کاربردها بدلیل سادگی پردازش در حوزه گستته زمانی بهتر است ابتدا سیگنال پیوسته زمانی را به یک سیگنال معادل گستته زمانی تبدیل نمود و بعد تمام عملیات و پردازش‌های لازم را روی سیگنال گستته زمانی انجام داد. این کار توسط نمونهبرداری امکان‌پذیر است. این عملیات را می‌توان در سه بلوک زیر خلاصه کرد.



شکل (۲۳-۵): پردازش گستته زمانی بر روی سیگنال‌های پیوسته زمانی

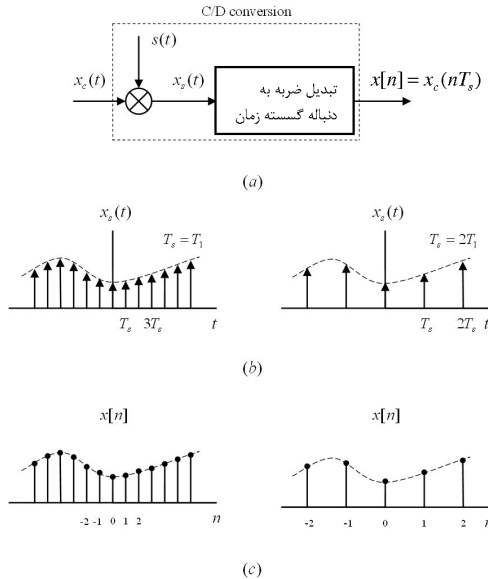
بلوک سوم جهت بازگشت به حوزه پیوسته زمانی لازم است. اساس کار در بلوک اول (C/D) این است که باید رابطه (۴۰-۵) میان نمونه‌های $x[n]$ و سیگنال $x_c(t)$ برقرار باشد.

$$x[n] = x_c(nT_s) \quad (40-5)$$

جهت درک بهتر مطلب شایسته است رابطه میان $x_c(t)$ و نمونه‌هایش را بوسیله یک فرایند نمونهبرداری و بدنبال آن یک مدار مبدل ضربه به دنباله نمایش داد. این رابطه بوسیله شکل (۲۴-۵) نمایش داده شده است.

¹ Discrete Time Processing of Continues-Time Signal

مقدمه ای بر تجزیه و تحلیل سیستمها



شکل (۴-۵): نمونهبرداری با قطار ضربه در اتصال با سیستم مبدل ضربه به دنباله زمانی گستته (a) نمایش کلی سیستم (b) برای دوسرعت نمونهبرداری پوش خطچین (t) $x_s(t)$ را نمایش می‌دهد. (c) خروجی بصورت دنباله برای دوسرعت مختلف نمونهبرداری.

در حوزه فرکانس می‌توان نوشت.

$$X_s(\omega) = \frac{1}{T_s} \sum_{k=-\infty}^{+\infty} X_c(\omega - k\omega_s) \quad (41-5)$$

و یا در حوزه زمان داریم.

$$x_s(t) = \sum_{n=-\infty}^{+\infty} x_c(nT_s) \delta(t - nT_s) \quad (42-5)$$

که از روی این رابطه (42-5) می‌توان نوشت.

$$X_s(\omega) = \sum_{n=-\infty}^{+\infty} x_c(nT_s) e^{-jn\omega T_s} \quad (43-5)$$

از طرفی دیگر خروجی [x[n]] را در نظر گرفته و تبدیل فوریه‌اش را می‌نویسیم.

$$X(\Omega) = \sum_{n=-\infty}^{+\infty} x[n] e^{-j\Omega n} \quad (44-5)$$

اکنون اگر بخواهیم $x[n] = x_c(nT_s)$ شود داریم.

$$X(\Omega) = \sum_{n=-\infty}^{\infty} x_c(nT_s) e^{-j\Omega n} \quad (45-5)$$

با مقایسه روابط (45-5) و (43-5) داریم.

$$X(\Omega) = X_s\left(\frac{\Omega}{T_s}\right)$$

فصل پنجم: نظریه نمونهبرداری

و از طرف دیگر داریم.

$$X_s(\omega) = \frac{1}{T_s} X_c(\omega), |\omega| \leq \omega_m \quad (46-5)$$

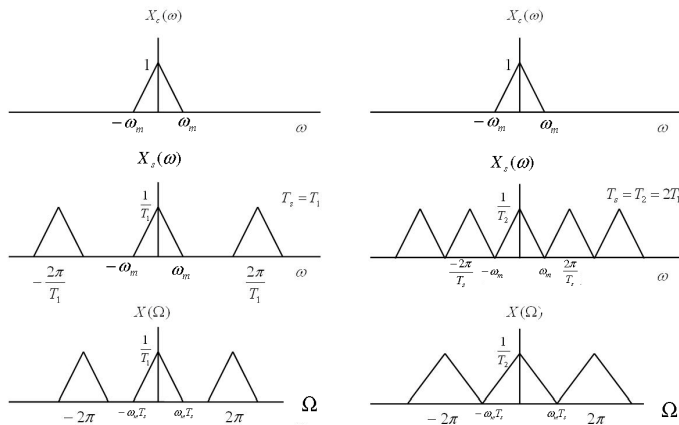
که در آن ω_m بالاترین مؤلفه فرکانسی موجود در X_c است. بنابراین داریم.

$$X(\Omega) = \frac{1}{T_s} X_c\left(\frac{\Omega}{T_s}\right), |\Omega| < \omega_m T_s \quad (47-5)$$

و یا

$$X(\Omega) = \frac{1}{T_s} \sum_{k=-\infty}^{+\infty} X_c\left(\frac{\Omega - 2k\pi}{T_s}\right) \quad (48-5)$$

ارتباط میان (ω) , $X_c(\omega)$, $X_s(\omega)$ در شکل (۲۵-۵) رسم شده است.



شکل (۲۵-۵): ارتباط بین (ω) , $X_c(\omega)$, $X_s(\omega)$ و $X(\Omega)$ برای دو سرعت مختلف نمونهبرداری

توجه به این نکته حائز اهمیت است که LTI بودن کل سیستم (۲۷-۵) بستگی به دو عامل زیر دارد.

LTI-۱ بودن سیستم گسسته زمان که جهت پردازش سیگنال پیوسته زمان بکار می‌رود.

۲-باند محدود بودن سیگنال ورودی و بالا بودن نرخ نمونهبرداری به اندازه‌ای که از تداخل جلوگیری کند.

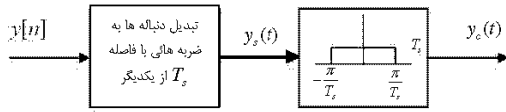
توجه شود که در شکل (۲۵-۵) T_1 و T_2 (نرخ‌های نمونهبرداری) بگونه‌ای هستند که شرط نایکوئیست را ارضاء می‌نمایند یعنی $2\omega_m \geq \frac{2\pi}{T_2}$ و $\frac{2\pi}{T_1} \geq 2\omega_m$.

عمل نمونهبرداری می‌شد.

با توجه به شکل (۲۴-۵) می‌بینیم که انتخاب T_s تأثیری در فاصله نمونه‌ها در حوزه گسسته زمانی ندارد و این در واقع نمایانگر یک نرمالیزاسیون بر حسب T_s (تقسیم محور زمان بر T_s) در انتقال از حوزه پیوسته به گسسته زمانی می‌باشد. این نرمالیزاسیون بر حسب T_s در حوزه زمان معادل ضرب حوزه فرکانس در ضریب نرمالیزاسیون T_s می‌باشد، یعنی $\omega = T_s \Omega$.

مقدمه ای بر تجزیه و تحلیل سیستمهای

اکنون مناسب است که بلوک D/C که کارش تبدیل نمونه‌ها به یک سیگنال پیوسته زمانی است را بررسی کنیم. در این بلوک ابتدا باید دنباله‌ها را با توجه به دانستن نرخ نمونه‌برداری T_s به ضربه‌هایی با فاصله T_s از یکدیگر تبدیل نمود و سپس با قراردادن یک LPF می‌توان $y_c(t)$ را بازسازی کرد. (به شکل (۲۶-۵) توجه کنید).



شکل (۲۶-۵): بلوک D/C

در اینجا داریم.

$$y_s(t) = \sum_{n=-\infty}^{+\infty} y[n] \delta(t - nT_s) \quad (49-5)$$

و بعداز LPF داریم.

$$Y_c(\omega) = Y_s(\omega) H_r(\omega) \quad (50-5)$$

$$y_c(t) = \sum_{n=-\infty}^{+\infty} y[n] h_r(t - nT_s) \quad (51-5)$$

که در آن

$$h_r(t) = \frac{\sin\left(\frac{\pi t}{T_s}\right)}{\frac{\pi t}{T_s}} \quad (52-5)$$

بنابراین می‌توان نوشت.

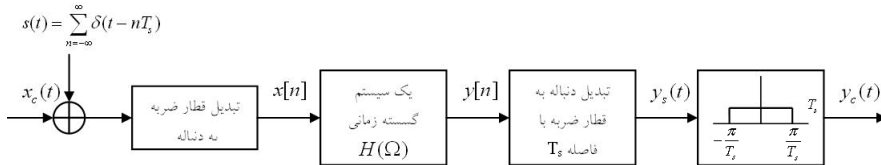
$$y_c(t) = \sum_{n=-\infty}^{+\infty} y[n] \frac{\sin[\pi(t - nT_s)/T_s]}{\pi(t - nT_s)/T_s} \quad (53-5)$$

چون $h_r(mT_s) = 0$ بازاء $m \neq 0$ و $h_r(0) = 1$ پس

$$y_c(mT_s) = y[m] \quad (54-5)$$

البته بشرطی که $|a| \geq \frac{\pi}{T_s}$ باشد. اکنون سیستم کلی که بیانگر یک پردازش گستته

زمانی $H(\Omega)$ بر روی سیگنال پیوسته زمانی $x_c(t)$ می‌باشد را می‌توان بصورت زیر رسم کرد.



شکل (۲۷-۵): سیستم کلی که نمایشگر یک پردازش گستته زمانی $H(\Omega)$ بر روی سیگنال پیوسته زمانی $x_c(t)$ می‌باشد.

فصل پنجم: نظریه نمونهبرداری

حال سوال اینست که یک پردازشگر گسسته زمانی ($H(\Omega)$) در سیستم شکل (۲۷-۵) معادل چه سیستمی در حوزه پیوسته زمانی است؟ جواب این سوال با در نظر گرفتن (ω) و $X_c(\omega)$ در شکل (۲۷-۵) داده می‌شود. در شکل (۲۷-۵) داریم.

$$X(\Omega) = \frac{1}{T_s} \sum_{k=-\infty}^{+\infty} X_c\left(\frac{\Omega}{T_s} - \frac{2k\pi}{T_s}\right) \quad (55-5)$$

$$Y(\Omega) = H(\Omega)X(\Omega) = \frac{1}{T_s} \sum_{k=-\infty}^{\infty} H(\Omega)X_c\left(\frac{\Omega}{T_s} - \frac{2k\pi}{T_s}\right) \quad (56-5)$$

از معادلات (۵۰-۵) الی (۵۴-۵) می‌توان استنباط کرد که

$$Y_s(\omega) = Y(\Omega) \Big|_{\Omega = \omega T_s} \quad (57-5)$$

$$Y_s(\omega) = \sum_{k=-\infty}^{\infty} H(\omega T_s) X_s\left(\omega - \frac{2k\pi}{T_s}\right) \quad (58-5)$$

و بعد از LPF کردن داریم.

$$Y_c(\omega) = T_s X_c(\omega) H(\omega T_s) \quad , |\omega| < \frac{\pi}{T_s} \quad (59-5)$$

بنابراین تابع انتقال معادل به صورت زیر بدست می‌آید.

$$H_{eff}(\omega) = T_s H(\omega T_s) \quad , |\omega| < \frac{\pi}{T_s} \quad (60-5)$$

بنابراین برای انجام عملیات مشتق گیری رابطه متناظر در حوزه گسسته زمان باید بدین صورت باشد.

$$H(\Omega) = \frac{1}{T_s} j\left(\frac{\Omega}{T_s}\right) \quad , |\Omega| < \pi \quad (61-5)$$

این تابع تبدیل با دوره تناوب 2π متناوب است و اگر آن را در سیستم شکل (۲۷-۵) در محل $H(\Omega)$ در محل $H(\Omega)$ رسم کنیم عمل کلی سیستم معادل یک مشتق گیر پیوسته با تابع تبدیل زیر است.

$$H_{eff}(\omega) = \begin{cases} j\omega & |\omega| < \frac{\pi}{T_s} \\ 0 & |\omega| > \frac{\pi}{T_s} \end{cases} \quad (62-5)$$

پاسخ فرکانسی $H_{eff}(\omega)$ و $H(\Omega)$ در شکل (۶۱-۵) رسم شده‌اند. محاسبه پاسخ ضربه به صورت تمرین به عهده دانشجویان گذاشته می‌شود.

بنابراین اگر یک سیستم گسسته زمانی با پاسخ فرکانسی به صورت (۶۱-۵) در شکل (۲۷-۵) در محل

استفاده شود خروجی $y_c(t)$ بازه هر ورودی باند محدود (که بالاترین مؤلفه فرکانسی اش از $\frac{\pi}{2}$

کوچکتر باشد) مشتق ورودی خواهد بود.

مقدمه ای بر تجزیه و تحلیل سیستمهای

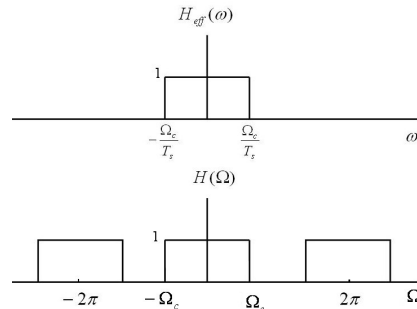
مثال (۲۷-۵): تابع انتقال یک فیلتر پایین‌گذر ایده‌آل در حوزه پیوسته زمانی بصورت رابطه (۶۳-۵) است.

$$H_{eff}(\omega) = \begin{cases} 1 & |\omega| < \frac{\Omega_c}{T_s} = \omega_c \\ 0 & |\omega| > \frac{\Omega_c}{T_s} = \omega_c \end{cases} \quad (63-5)$$

اگر بخواهیم بجای این سیستم از یک سیستم معادل گسسته زمانی در شکل (۲۷-۵) استفاده کنیم باید سیستمی را بصورت زیر بکار ببریم.

$$H(\Omega) = \begin{cases} 1 & |\Omega| < \Omega_c \\ 0 & \Omega_c < |\Omega| < \pi \end{cases} \quad (64-5)$$

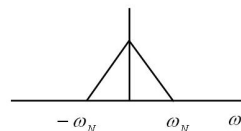
که با دوره تناوب 2π تکرار می‌شود.



شکل (۲۸-۵): نمایش $H_{eff}(\omega)$ و $H(\Omega)$

اکنون فرض کنید سیگنال $x_c(t)$ دارای طیف زیر باشد.

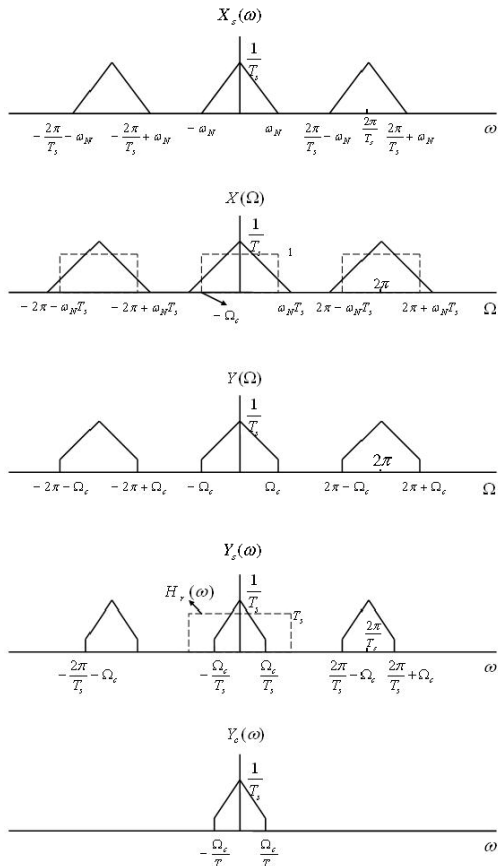
$$X_c(\omega)$$



شکل (۲۹-۵): نمایش طیف $X_c(\omega)$

بنابراین به ترتیب برای $(Y(\Omega), X_s(\omega), Y_s(\omega))$ و در نهایت $(Y_c(\omega), X_c(\omega))$ طیف‌های زیر داریم.

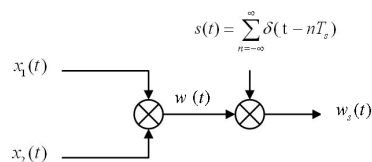
فصل پنجم: نظریه نمونهبرداری



شکل (۳۰-۵): نمایش $(Y_c(\omega), X_s(\omega), X(\Omega), Y(\Omega), Y_s(\omega))$

پس فرکانس قطعی فیلتر در حوزه پیوسته زمانی را می‌توان توسط دوره تناوب نمونهبرداری T_s تعیین نمود، بدون اینکه Ω_c یا فرکانس قطعی فیلتر گسته زمانی را تغییر داد. این یک روش متداول در ساختن فیلترهای پایین‌گذر پیوسته زمانی با فرکانس‌های قطع مختلف، از فیلترهای پایین‌گذر گسته زمانی با یک فرکانس قطع می‌باشد.

مثال (۳-۵): در سیستم نشان داده شده در شکل ۳-۱-۵ بیشترین فاصله نمونه‌ها (T_s) جهت نمونهبرداری موفقیت‌آمیز چقدر باید باشد؟



شکل ۳-۱-۵ سیستم مربوط به ۳-۵

مقدمه ای بر تجزیه و تحلیل سیستمهای

توجه کنید که پهنای باند ($x_1(t)$ و $x_2(t)$ به ترتیب ω_1 و ω_2 می‌باشند).
حل: لازم است ابتدا پهنای باند ($w(t)$ را بیابیم. با توجه به اینکه ($w(t)$ حاصلضرب دو سیگنال ($x_1(t)$, $x_2(t)$) است، داریم.

$$W(\omega) = \frac{1}{2\pi} X_1(\omega) * X_2(\omega)$$

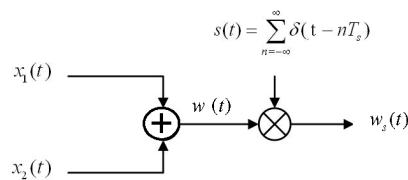
بنابراین طیف ($W(\omega)$ دارای پهنای باند $\omega_1 + \omega_2$ می‌باشد. بنابراین طبق نظریه نمونه‌برداری شرط زیر را جهت نمونه‌برداری موفقیت‌آمیز خواهیم داشت.

$$\frac{2\pi}{T_s} \geq 2(\omega_1 + \omega_2)$$

و یا

$$T_s \leq \frac{\pi}{\omega_1 + \omega_2}$$

مثال (۴-۵): در سیستم شکل زیر بیشترین فاصله نمونه‌ها (T_s) جهت نمونه‌برداری موفقیت‌آمیز چقدر باید باشد.



شکل ۳۲-۵ سیستم مربوط به مثال ۴-۵

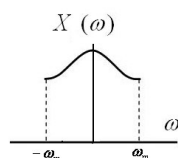
توجه کنید که پهنای باند ($x_1(t)$ و $x_2(t)$ به ترتیب ω_1 و ω_2 باشد).

حل: با توجه به شکل پهنای باند ($W(\omega)$ مساوی ماکزیمم ω_1 و ω_2 می‌باشد بنابراین

$$T_s \leq \frac{\pi}{\text{Max}\{\omega_1, \omega_2\}}$$

مثال (۵-۵): در سیستم شکل ۵-۵ سیگنال نمونه بردار یک قطار ضربه است که علامت هر دو نمونه مجاور مخالف یکدیگر است. اگر طیف سیگنال بصورت شکل ۳۳-۵ نمایش داده شده باشد. تبدیل فوریه

$$x_s(t) \text{ و } y(t) \text{ را برای حالتی که } \Delta < \frac{\pi}{2\omega_M} \text{ باشد بدست آورید.}$$



شکل ۳۳-۵ شکل طیف سیگنال ($x(t)$) مربوط به مثال ۵-۵

$$x_s(t) = x(t)s(t)$$

فصل پنجم: نظریه نمونهبرداری

$$X_s(\omega) = \frac{1}{2\pi} X(\omega) * S(\omega)$$

می‌توان سیگنال نمونهبردار را بصورت زیر نوشت.

$$s(t) = \sum_{k=-\infty}^{\infty} \delta(t - 2k\Delta) - \sum_{k=-\infty}^{\infty} \delta(t - 2k\Delta + \Delta)$$

بنابراین بسادگی می‌توان تبدیل فوریه $(t) s$ را بدین صورت نوشت.

$$S(\omega) = \omega_s \sum_{k=-\infty}^{\infty} \delta(\omega - k\omega_s) - \omega_s \sum_{k=-\infty}^{\infty} \delta(\omega - k\omega_s) e^{-jk\omega\Delta}$$

که در آن $\omega_s = \frac{2\pi}{2\Delta}$ می‌باشد.

$$S(\omega) = \frac{\pi}{\Delta} \sum_{k=-\infty}^{\infty} \delta(\omega - \frac{k\pi}{\Delta}) [1 - e^{-jk\omega_s\Delta}]$$

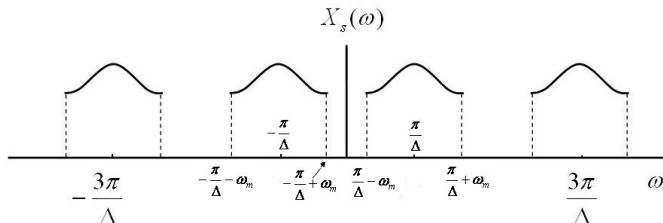
در این صورت داریم.

$$X_s(\omega) = \frac{1}{2\pi} \cdot \frac{\pi}{\Delta} \left\{ \sum_{k=-\infty}^{\infty} X(\omega - \frac{k\pi}{\Delta}) (1 - e^{-jk\frac{\pi}{\Delta}}) \right\} = \frac{1}{2\Delta} \left\{ \sum_{k=-\infty}^{\infty} X(\omega - \frac{k\pi}{\Delta}) (1 - e^{-jk\pi}) \right\}$$

و یا

$$X_s(\omega) = \begin{cases} \frac{1}{\Delta} \sum_{k=-\infty}^{\infty} X(\omega - k\frac{\pi}{\Delta}) & k, odd \\ 0 & k, even \end{cases}$$

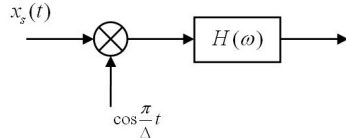
بنابراین طیف $(\omega) X_s$ بصورت زیر می‌باشد.



شکل ۳۴-۵ شکل طیف $(\omega) X_s$ مربوط به مثال ۵-۵

مثال (۵-۶): جهت بازسازی سیگنال اصلی در مثال (۵-۵) از روی نمونه‌های آن از چه سیستمی می‌توان استفاده کرد.

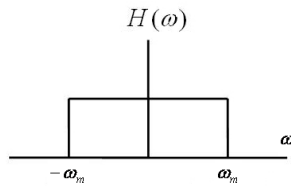
حل: می‌توان از سیستم شکل ۳۵-۵ استفاده کرد.



شکل ۳۵-۵ شکل سیستم مربوط به مثال ۵-۵

مقدمه ای بر تجزیه و تحلیل سیستمها

که در آن $H(\omega)$ یک فیلتر پایین گذر بصورت شکل ۳۶-۵ است.



شکل ۳۶-۵ شکل طیف $H(\omega)$ مربوط به مثال ۶-۵

مثال (۷-۵): ماکریم مقدار Δ جهت نمونه برداری موفقیت آمیز از سیگنال $x(t)$ چقدر می تواند باشد؟
حل: با توجه به شکل ۲۳-۵ و طبق نظریه نمونه برداری باید

$$\frac{\pi}{\Delta} - \omega_m \geq -\frac{\pi}{\Delta} + \omega_m \Rightarrow \frac{2\pi}{\Delta} \geq 2\omega_m$$

و یا

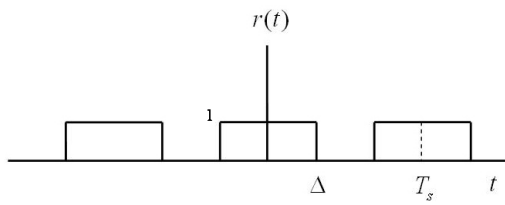
$$\Delta \leq \frac{\pi}{\omega_m}$$

مثال (۸-۵): در سیستم نمونه بردار شکل ۵-۵ از یک موج متناوب مربعی مطابق شکل ۲۶-۵ جهت نمونه برداری از سیگنال باند محدود $x(t)$ استفاده شده است. دوره تناوب سیگنال نمونه بردار T_s می باشد. اگر پهنه ای باند سیگنال ω_m باشد و با فرض $\Delta = \frac{T_s}{3}$ مطلوب است ماکریم مقدار T_s جهت نمونه برداری موفقیت آمیز.

حل: سیگنال نمونه بردار را به صورت زیر داریم.

$$s(t) = r(t)$$

که در آن $r(t)$ بصورت زیر است.



شکل ۳۷-۵ سیگنال نمونه بردار مربوط به مثال ۸-۵

اما قبل از ضرایب سری فوریه $r(t)$ را بدست آورده بودیم.

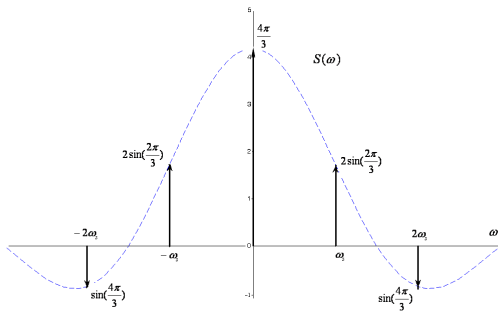
$$a_k = \frac{\sin k\omega_s \Delta}{k\pi} \quad \text{و} \quad \omega_s = \frac{2\pi}{T_s}$$

پس

$$S(\omega) = 2\pi \sum_{k=-\infty}^{\infty} \frac{\sin k\omega_s \Delta}{k\pi} \delta(\omega - k\omega_s)$$

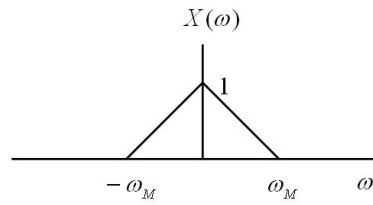
فصل پنجم: نظریه نمونه برداری

بنابراین طیف $S(\omega)$ بصورت شکل ۳۸-۵ خواهد بود.



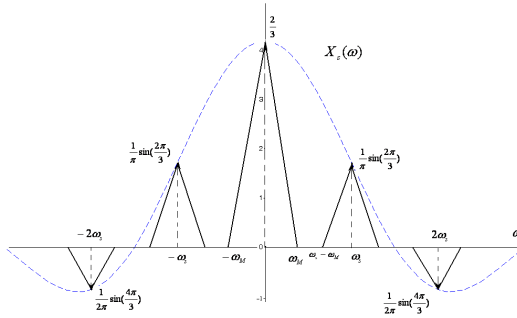
شکل ۳۸-۵ شکل طیف $S(\omega)$ مربوط به مثال ۵

اگر فرض کنیم طیف $x(t)$ بصورت زیر باشد.



شکل ۳۹-۵ شکل طیف $x(t)$ مربوط به مثال ۵

در این صورت طیف سیگنال نمونه برداری شده x_s بصورت زیر خواهد بود.



شکل ۴۰-۵ شکل طیف $x(t)$ مربوط به مثال ۵

بنابراین شرط لازم بدست می‌آید.

$$\omega_s - \omega_M \geq \omega_M$$

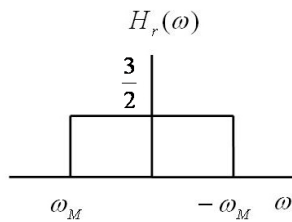
و یا

$$\omega_s \geq 2\omega_M \Rightarrow T_s \leq \frac{\pi}{\omega_M}$$

مقدمه ای بر تجزیه و تحلیل سیستمها

مثال (۹-۵): برای مثال (۸-۵) سیستمی جهت بازسازی $x(t)$ از روی نمونه های برداشته شده طراحی کنید.

حل: چنان سیستمی بسادگی یک فیلتر پایین گذر با بهره $\frac{3}{2}$ می باشد.

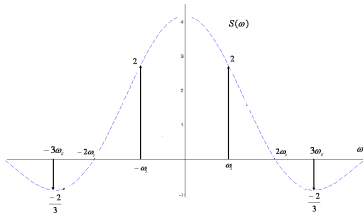


شکل ۴۱-۵ طیف سیستم باز ساز مربوط به مثال ۹-۵

مثال (۱۰-۵): مثال (۸-۵) و (۹-۵) را به ازاء $\Delta = \frac{T_s}{4}$ تکرار کنید و فرض کنید سیگنال نمونه بردار به صورت زیر باشد.

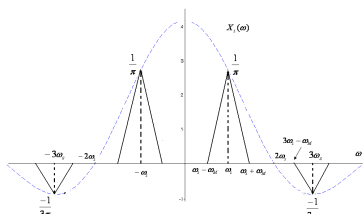
$$s(t) = r(t) - 0.5$$

حل: در این حالت همان گونه که مشاهده می شود مؤلفه DC و کلیه مؤلفه های زوج در سیگنال $s(t)$ وجود نخواهد داشت و در نتیجه طیف سیگنال $s(t)$ بصورت شکل ۴۲-۵ خواهد بود.



شکل ۴۲-۵ طیف $S(\omega)$ مربوط به مثال ۱۰-۵

طیف سیگنال نمونه برداری شده به صورت شکل ۴۳-۵ خواهد بود.



شکل ۴۳-۵ طیف $X_s(\omega)$ مربوط به مثال ۱۰-۵

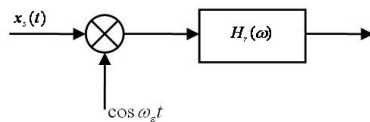
در این صورت جهت نمونه برداری موفقیت آمیز لازم است که

$$\omega_s + \omega_M \geq 3\omega_s - \omega_M \Rightarrow \omega_s \geq \omega_M$$

و یا

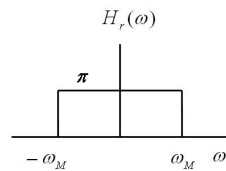
$$T_s \leq \frac{2\pi}{\omega_M}$$

و اما جهت بازسازی سیگنال اصلی از روی نمونه‌هایش سیستم شکل ۴۴-۵ پیشنهاد می‌شود.



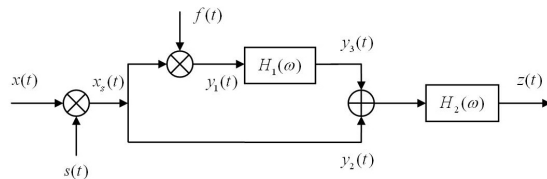
شکل ۴۴-۵ سیستم بازسازی مربوط به مثال ۱۰-۵

که در آن



شکل ۴۵-۵ تابع انتقال فیلتر سیستم بازساز

مثال (۱۱-۵): یک سیگنال باند محدود با پهنای باند w را می‌توان بطور یکتا از روی نمونه‌های غیر یکنواخت نیز بازسازی کرد، مشروط بر اینکه تعداد نمونه‌ها $2w$ نمونه در ثانیه و یا بیشتر باشد. در این مساله یک شکل ساده از انواع نمونه‌برداری غیر یکنواخت مورد بررسی قرار می‌گیرد. به شکل ۴۶-۵ توجه کنید.



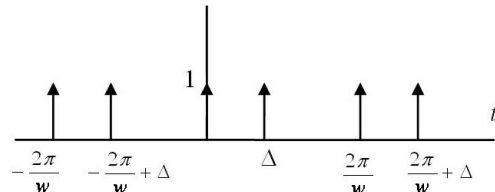
شکل ۴۶-۵ سیستم نمونه بردار مورد بحث در مثال ۱۱-۵

برای شکل فوق فرض‌های زیر را در نظر می‌گیریم.

۱- $x(t)$ یک سیگنال باند محدود است یعنی

$$X(\omega) = 0 \quad |\omega| > w$$

۲- $s(t)$ یک قطار ضربه با فواصل غیر یکنواخت بین ضربه‌ها می‌باشد.



شکل ۴۷-۵ سیگنال نمونه بردار با نمونه‌های غیر یکنواخت

مقدمه ای بر تجزیه و تحلیل سیستمها

$f(t) = \frac{2\pi}{w} \sin(\omega t)$ یک سینال متناوب با دوره تناوب $T = \frac{2\pi}{w}$ می‌باشد که در نقاط $t = 0$ و $t = \Delta$ مقدار آن بصورت زیر است.

$$f(0) = a, f(\Delta) = b$$

یک سیستم $H_1(\omega)$ درجه ۹۰ تغییر فاز دهنده می‌باشد.

$$H_1(\omega) = \begin{cases} j & \omega > 0 \\ -j & \omega < 0 \end{cases}$$

یک فیلتر پایین‌گذر است.

$$H_2(\omega) = \begin{cases} K & 0 < \omega < w \\ K^* & -w < \omega < 0 \\ 0 & |\omega| > w \end{cases}$$

که در آن K یک عدد ثابت مختلط است.

مطلوب است

(الف) تبدیل فوریه ($s(t)$)

(ب) تبدیل فوریه حاصلضرب ($f(t)s(t)$)

(ج) عبارتی برای تبدیل فوریه ($y_1(t)$) در فاصله $0 < \omega < w$

(د) عبارتی برای تبدیل فوریه ($y_2(t)$) در فاصله $0 < \omega < w$

(ه) عبارتی برای تبدیل فوریه ($y_3(t)$) در فاصله $0 < \omega < w$

و) مقادیر پارامترهای حقیقی a و b و مقدار پارامتر مختلط K بصورت تابعی از Δ بگونه‌ای که به ازاء

هر سینال باند محدود ($0 < \omega < \Delta$) داشته باشیم.

$$z(t) = x(t)$$

حل: (الف) برای بدست آوردن تبدیل فوریه ($s(t)$) ابتدا آن را بصورت زیر می‌نویسیم.

$$s(t) = \sum_{k=-\infty}^{\infty} \delta(t - k \frac{2\pi}{w}) + \sum_{k=-\infty}^{\infty} \delta(t - k \frac{2\pi}{w} - \Delta)$$

بنابراین ($s(t)$) را می‌توان بصورت مجموع دو موج تصور کرد.

$$s(t) = g(t) + g(t - \Delta)$$

که در آن

$$g(t) = \sum_{k=-\infty}^{\infty} \delta(t - k \frac{2\pi}{w})$$

تبدیل فوریه ($g(t)$) را قبلًا بارها بدست آورده‌ایم.

$$G(\omega) = \frac{2\pi}{w} \sum_{k=-\infty}^{\infty} \delta(\omega - kw) = w \sum_{k=-\infty}^{\infty} \delta(\omega - kw)$$

فصل پنجم: نظریه نمونه برداری

بنابراین تبدیل فوریه $s(t)$ برابر است با

$$S(\omega) = w(1 + e^{-j\omega\Delta}) \sum_{k=-\infty}^{\infty} \delta(\omega - kw)$$

و یا

$$S(\omega) = w \sum_{k=-\infty}^{\infty} (1 + e^{-jkw\Delta}) \delta(\omega - kw)$$

ب) تبدیل فوریه $l(t) = f(t)s(t)$ برابر است با

$$\begin{aligned} L(\omega) &= \int_{-\infty}^{\infty} f(t)s(t)e^{-j\omega t} dt \\ &= \int_{-\infty}^{\infty} \left[\sum_{k=-\infty}^{\infty} \delta(t-k\frac{2\pi}{w}) + \sum_{k=-\infty}^{\infty} \delta(t-k\frac{2\pi}{w} - \Delta) \right] f(t)e^{-j\omega t} dt \end{aligned}$$

بدلیل ضرب شدن $f(t)$ در تابع ضربه، فقط مقادیر $t = kT$ در لحظات مورد

$$(T = \frac{2\pi}{w}) \text{ نیاز است } (k \text{ عددی صحیح و)}$$

$$\begin{aligned} L(\omega) &= \int_{-\infty}^{\infty} \left[\sum_{k=-\infty}^{\infty} f(kT) \delta(t-kT) e^{-j\omega kT} + \sum_{k=-\infty}^{\infty} f(kT+\Delta) \delta(t-kT-\Delta) e^{-j\omega(kT+\Delta)} \right] dt \\ L(\omega) &= \sum_{k=-\infty}^{\infty} f(kT) e^{-j\omega kT} \int_{-\infty}^{\infty} \delta(t-kT) dt + \sum_{k=-\infty}^{\infty} f(kT+\Delta) e^{-j\omega(kT+\Delta)} \int_{-\infty}^{\infty} \delta(t-kT-\Delta) dt \end{aligned}$$

بنابراین

$$L(\omega) = \sum_{k=-\infty}^{\infty} f(kT) e^{-j\omega kT} + \sum_{k=-\infty}^{\infty} f(kT + \Delta) e^{-j\omega(kT + \Delta)}$$

$(T = \frac{2\pi}{w}) \text{ می باشد، داریم.}$

$$f(kT) = f(0) = a \quad \text{و} \quad f(kT + \Delta) = f(\Delta) = b$$

بنابراین

$$L(\omega) = a \sum_{k=-\infty}^{\infty} e^{-j\omega kT} + b e^{-j\omega \Delta} \sum_{k=-\infty}^{\infty} e^{-j\omega kT}$$

و یا

$$L(\omega) = (a + b e^{-j\omega \Delta}) \sum_{k=-\infty}^{\infty} e^{-j\omega kT}$$

اما بسادگی می توان ثابت کرد که

$$\sum_{k=-\infty}^{\infty} e^{-j\omega kT} = \frac{2\pi}{T} \sum_{k=-\infty}^{\infty} \delta(\omega - k \frac{2\pi}{T})$$

ابتدا با نوشتن تبدیل فوریه $m(t) = \sum_{k=-\infty}^{\infty} \delta(t - kT)$ داریم.

مقدمه اي بر تجزيه و تحليل سیستمها

$$M(\omega) = \int_{-\infty}^{\infty} \sum_{k=-\infty}^{\infty} \delta(t - kT) e^{-j\omega t} dt = \sum_{k=-\infty}^{\infty} e^{-j\omega kT}$$

اما قبلًا تبدیل فوریه قطار ضربه را بصورت زیر داشتیم.

$$M(\omega) = \frac{2\pi}{T} \sum_{k=-\infty}^{\infty} \delta(\omega - k \frac{2\pi}{T})$$

بنابراین اثبات کامل می‌شود و بدین ترتیب با فرض $w = \frac{2\pi}{T}$ داریم.

$$L(\omega) = (a + be^{-j\omega\Delta})w \sum_{k=-\infty}^{\infty} \delta(\omega - kw)$$

و یا

$$L(\omega) = w \sum_{k=-\infty}^{\infty} (a + be^{-jkw\Delta}) \delta(\omega - kw)$$

$$y_1(t) = f(t)s(t)x(t) = l(t)x(t)$$

(ج)

$$Y_1(\omega) = \frac{1}{2\pi} \left[(a + be^{-j\omega\Delta})w \sum_{k=-\infty}^{\infty} \delta(\omega - kw) \right] * X(\omega)$$

$$= \frac{w}{2\pi} \sum_{k=-\infty}^{\infty} (a + be^{-jkw\Delta}) X(\omega - kw)$$

بنابراین در فاصله

$$0 < \omega < w$$

$$Y_1(\omega) = \frac{w}{2\pi} [(a + b)X(\omega) + (a + be^{-j\omega\Delta})X(\omega - w)]$$

$$y_2(t) = s(t)x(t)$$

(د)

بنابراین

$$Y_2(\omega) = \frac{1}{2\pi} w \sum_{k=-\infty}^{\infty} (1 + e^{-jkw\Delta}) \delta(\omega - kw) * X(\omega)$$

$$= \frac{w}{2\pi} \sum_{k=-\infty}^{\infty} (1 + e^{-jkw\Delta}) X(\omega - kw)$$

و در فاصله

$$0 < \omega < w$$

$$Y_2(\omega) = \frac{w}{2\pi} [2X(\omega) + (1 + e^{-jw\Delta})X(\omega - w)]$$

ه) طبق قضیه کانولوشن تبدیل فوریه $y_3(t)$ از رابطه زیر حاصل می‌شود.

$$Y_3(\omega) = H_1(\omega)Y_1(\omega)$$

در فاصله $0 < \omega < w$

$$H_1(\omega) = j$$

$$\begin{aligned} Y_3(\omega) &= jY_1(\omega) \\ &= j \frac{w}{2\pi} [(a+b)X(\omega) + (a+be^{-jw\Delta})X(\omega-w)] \end{aligned}$$

و) جهت اینکه خروجی همواره مساوی $x(t)$ باشد باید

$$Z(\omega) = H_2(\omega)[Y_2(\omega) + Y_3(\omega)] = X(\omega)$$

اکنون باید داشته باشیم (از مساوی قرار دادن دو طرف رابطه به ازاء)

$$\begin{aligned} X(\omega) &= K \frac{w}{2\pi} \{ [2 + j(a+b)]X(\omega) \\ &+ [(1 + e^{-jw\Delta}) + j(a+be^{-jw\Delta})]X(\omega-w) \} \end{aligned}$$

نتیجتاً داریم.

$$\begin{aligned} K \frac{w}{2\pi} [2 + j(a+b)] &= 1 \\ (1 + e^{-jw\Delta}) + j(a+be^{jw\Delta}) &= 0 \\ 1 + e^{-jw\Delta} + ja + jbe^{-jw\Delta} &= 0 \end{aligned}$$

نتیجتاً داریم.

$$a = \sin w\Delta + \cot g(w\Delta)(1 + \cos w\Delta)$$

$$K = \frac{2\pi/w}{2 + j(a+b)} \quad \text{و} \quad b = \frac{-(1 + \cos w\Delta)}{\sin w\Delta}$$

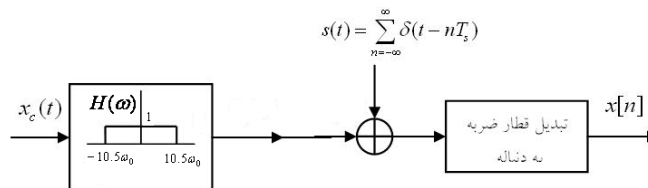
همان‌گونه که می‌بینیم در حالت خاص که $\Delta = \frac{\pi}{w}$ است مقادیر a و b برابر می‌شوند.

مثال (۱۲-۵): شکل زیر یک مدار مبدل سیگنال پیوسته به دنباله گسسته می‌باشد.

سیگنال ورودی متناوب با دوره تناوب ۰.۱ ثانیه می‌باشد. ضرایب سری فوریه آن عبارتند از

$$a_k = \left(\frac{1}{2}\right)^{|k|} \quad -\infty < k < \infty$$

فیلتر پایین‌گذر ($H(\omega)$) دارای مشخصه نشان داده شده در شکل می‌باشد. دوره تناوب نمونهبرداری $T_s = 2 \times 10^{-3}$ ثانیه می‌باشد.



شکل ۱۲-۵ سیستم مورد بحث در مثال ۱۲-۵

الف) نشان دهید که $x[n]$ یک دنباله متناوب است و دوره تناوب آن را بیابید.

ب) ضرایب سری فوریه $[x[n]]$ را بیابید.

مقدمه ای بر تجزیه و تحلیل سیستمها

حل : الف) بسط $x(t)$ به سری فوریه بصورت زیر است.

$$x(t) = \sum_{k=-\infty}^{\infty} a_k e^{jk\omega_0 t} \quad \omega_0 = \frac{2\pi}{T} \text{ و } T = 0.1s$$

$$= \sum_{k=-\infty}^{\infty} \left(\frac{1}{2}\right)^{|k|} e^{jk\omega_0 t} \quad \omega_0 = 20\pi \frac{\text{rad}}{\text{sec}}$$

طیف $X(\omega)$ بصورت زیر است.

$$X(\omega) = 2\pi \sum_{k=-\infty}^{\infty} \left(\frac{1}{2}\right)^{|k|} \delta(\omega - k\omega_0)$$

بنابراین فقط نا ۱۰ ضربه از فیلتر عبور می نماید. پس

$$x_c(t) = \sum_{k=-10}^{10} \left(\frac{1}{2}\right)^{|k|} e^{jk\omega_0 t}$$

و چون

$$x[n] = x_c[nT_s]$$

خواهیم داشت.

$$x[n] = \sum_{k=-10}^{10} \left(\frac{1}{2}\right)^{|k|} e^{jk\omega_0 nT_s}$$

بنابراین

$$x[n] = \sum_{k=-10}^{10} \left(\frac{1}{2}\right)^{|k|} e^{jk \cdot 0.04 \pi n}$$

رابطه فوق در حقیقت مبین سری فوریه گسسته زمانی $x[n]$ می باشد. ازینجا نتیجه می گیریم $x[n]$ متناوب است و دوره تناوب آن از رابطه زیر بدست می آید.

$$\frac{2\pi}{N} = 0.04\pi$$

بنابراین دوره تناوب $x[n]$ برابر است با

$$N = 50$$

ب) ضرایب سری فوریه در یک دوره تناوب عبارتند از

$$a_k = \left(\frac{1}{2}\right)^{|k|} \quad -10 < k < 10$$

توجه شود که ضرایب سری فوریه در خارج فاصله مذکور برابر صفر هستند.

مثال (۱۳-۵): از یک سیگنال باند محدود $(t) x_c$ با سرعتی بیشتر از سرعت نایکوئیست نمونه برداری شده است. فاصله نمونه ها T_s می باشد. نمونه ها پس از آن به دنباله تبدیل می شوند.

مطلوب است ارتباط انرژی سیگنال $(t) x_c$ و دنباله $[n] x$.

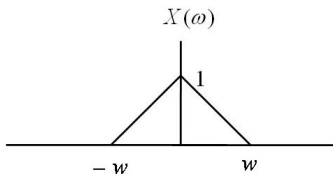
حل: انرژی دنباله $x[n]$ بصورت زیر تعریف می شود.

$$E_d = \sum_{n=-\infty}^{\infty} |x[n]|^2$$

و انرژی سیگنال $x_c(t)$ بصورت زیر است.

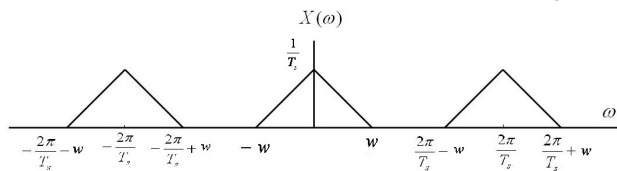
$$E_c = \int_{-\infty}^{\infty} |x_c(t)|^2 dt$$

فرض می‌کنیم طیف $x(t)$ بصورت زیر باشد.



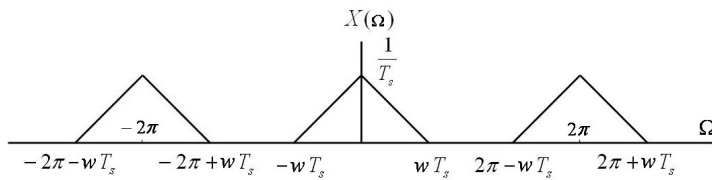
شکل ۴۹-۵ طیف سیگنال $x(t)$ مربوط به مثال ۱۳-۵

در این صورت طیف $x_p(t)$ بصورت زیر است.



شکل ۵۰-۵ طیف سیگنال $x_p(t)$ مربوط به مثال ۱۳-۵

نتیجتاً طیف تبدیل فوریه گسسته زمان $[x[n]]$ بصورت زیر خواهد بود.



شکل ۵۱-۵ طیف سیگنال گسسته زمان متناظر با $x(t)$

اما طبق رابطه پارسوال در حوزه گسسته زمان داریم.

$$\frac{1}{2\pi} \int_{2\pi} |X(\Omega)| d\Omega = \sum_{n=-\infty}^{\infty} |x[n]|^2$$

اما رابطه پارسوال در حوزه پیوسته زمان نیز بصورت زیر است.

$$\int_{-\infty}^{\infty} |x_c(t)|^2 dt = \frac{1}{2\pi} \int_{-\infty}^{\infty} |X_c(\omega)|^2 d\omega$$

با توجه به شکل‌ها می‌توان در یک دوره متناوب رابطه زیر را نوشت (با تغییر متغیرهای مستقل).

$$X(\Omega) = \frac{1}{T_s} X_c\left(\frac{\Omega}{T_s}\right)$$

مقدمه ای بر تجزیه و تحلیل سیستمها

$$E_d = \frac{1}{2\pi} \int_{-wT_s}^{wT_s} |X(\Omega)|^2 d\Omega = \frac{1}{2\pi T_s^2} \int_{-wT_s}^{wT_s} \left| X_c \left(\frac{\Omega}{T_s} \right) \right|^2 d\Omega$$

و یا تغییر متغیر بصورت $u = \frac{\Omega}{T_s}$

$$E_d = \frac{1}{2\pi T_s} \int_{-w}^w |X_c(u)|^2 du$$

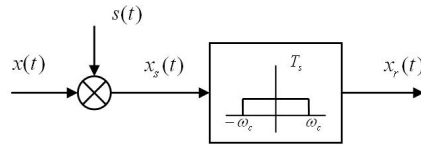
و چون $X_c(\omega)$ باند محدود است.

$$= \frac{1}{2\pi T_s} \int_{-\infty}^{\infty} |X_c(\omega)|^2 d\omega$$

بنابراین

$$E_d = \frac{1}{T_s} E_c$$

مثال (۱۴-۵): شکل زیر یک سیستم نمونهبردار که بوسیله یک فیلتر بازساز دنبال شده است را نشان می‌دهد.



شکل ۱۴-۵ سیستم مربوط به مثال ۱۴-۵

$$s(t) = \sum_{n=-\infty}^{\infty} \delta(t - nT_s)$$

با توجه به نظریه نمونهبرداری می‌دانیم که اگر $\omega_s = \frac{2\pi}{T_s}$ از دو برابر بالاترین مولفه فرکانسی موجود در

$x(t)$ بیشتر باشد، می‌توان بطور یکتا $x(t)$ را از روی نمونه‌هایش بازسازی کرد. در غیر این صورت، تداخل ایجاد می‌شود و سیگنال بازسازی شده $x_r(t)$ مساوی $x(t)$ نخواهد بود. اما در لحظات

نمونهبرداری مقادیر $x(t)$ و $x_r(t)$ مساوی هستند مشروط بر این که $\omega_c = \frac{\omega_s}{2}$ باشد. یعنی

$$x_r(kT_s) = x(kT_s) \quad k = 0, \pm 1, \pm 2, \dots$$

در این مساله فرض کنید $\omega_c = \frac{\omega_s}{2}$ است و رابطه فوق را ثابت کنید.

حل:

$$x_s(t) = x(t)s(t)$$

داریم

فصل پنجم: نظریه نمونهبرداری

$$= x(t) \sum_{n=-\infty}^{\infty} \delta(t - nT_s)$$

$$= \sum_{n=-\infty}^{\infty} x(nT_s) \delta(t - nT_s)$$

نتیجتاً برای $x_r(t)$ داریم.

$$x_r(t) = (\sum_{n=-\infty}^{+\infty} x(nT_s) \delta(t - nT_s)) * h(t)$$

$$= \sum_{n=-\infty}^{\infty} x(nT_s) h(t - nT_s)$$

اما می‌دانیم (با توجه به شکل پاسخ فرکانسی)

$$h(t) = T_s \frac{\omega_c}{\pi} Sinc \frac{\omega_c t}{\pi}$$

بنابراین

$$x_r(t) = \sum_{n=-\infty}^{\infty} x(nT_s) T_s \frac{\omega_c}{\pi} Sinc \left[\frac{\omega_c (t - nT_s)}{\pi} \right]$$

و در نتیجه

$$x_r(kT_s) = \sum_{n=-\infty}^{+\infty} x(nT_s) Sinc \left[\frac{\omega_c}{\pi} T_s (k - n) \right] T_s \frac{\omega_c}{\pi}$$

از طرفی $\omega_c = \frac{\omega_s}{2}$

$$x_r(kT_s) = \sum_{n=-\infty}^{+\infty} x(nT_s) Sinc(k - n)$$

و با توجه به خواص تابع sinc می‌توان رابطه زیر را نوشت.

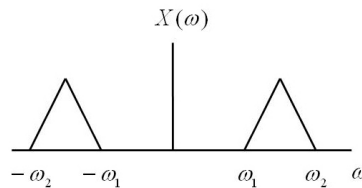
$$Sinc(k - n) = \begin{cases} 0 & k \neq n \\ 1 & k = n \end{cases}$$

که در آن k و n اعداد صحیح هستند. پس

$$x_r(kT_s) = x(kT_s)$$

مثال (۱۵-۵): در این مساله می‌خواهیم یک حالت ساده مربوط به نمونهبرداری از سیگنال‌های میان‌گذر^۱ را مورد بررسی قرار دهیم. این سیگنال دارای باندی محدود است که انرژی آن در فرکانس‌های میانی متتمرکز شده است (مانند شکل (۵-۳)).

^۱Band-pass



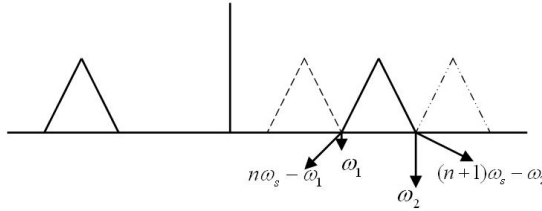
شکل ۵-۵ سیگنال میانگذر مربوط به مثال ۱۵-۵

طبق نظریه نمونهبرداری حداقل فرکانس نمونهبرداری باید $\omega_2 = 2\omega_s$ باشد تا بتوان بطور موفقیت‌آمیز و به کمک یک فیلتر میان‌گذر، سیگنال را بازسازی کرد. اما در این مساله می‌خواهیم ثابت کنیم که

می‌توان با سرعت‌های کمتر نیز از سیگنال میان‌گذر بصورت موفقیت‌آمیز نمونهبرداری کرد.

فرض کنید $\omega_s = w$ و $\omega_2 = 5w$ می‌گردد. اکنون فرکانس نمونهبرداری حداقل را جهت امکان بازسازی سیگنال به کمک یک فیلتر میان‌گذر بدست آورید.

حل: چون قرار است سیگنال به کمک فیلتر میان‌گذر بازسازی گردد می‌توان ω_s را بگونه‌ای انتخاب کرد که تمام انتقال‌های سیگنال تا انتقال n در داخل محدوده $\omega_1 < |\omega| < \omega_2$ قرار گیرند و انتقال $(n+1)$ در محدوده $\omega_2 < |\omega| < (n+1)\omega_s$ در این صورت به کمک یک فیلتر میان‌گذر و بدون هیچ تداخلی می‌توان سیگنال را بازسازی کرد.



شکل ۵-۶ نمونه برداری میانگذر

بنابراین لازم است.

$$n\omega_s - \omega_1 \leq \omega_1$$

$$(n+1)\omega_s - \omega_2 \geq \omega_2$$

در حالت کلی حل همزمان دو نامساوی فوق ساده نمی‌باشد، اما با فرضهایی که انجام داده‌ایم ساده است (حالت تساوی را در نظر می‌گیریم).

$$n\omega_s = 2\omega_1$$

$$(n+1)\omega_s = 2\omega_2$$

بنابراین

$$\omega_s = 2w$$

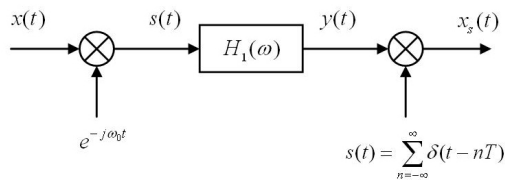
ولی اگر می‌خواستیم از نظریه نمونهبرداری استفاده کنیم به پهنه‌ای باند حداقل پنج برابر نیاز داشتیم.

$$\omega_s = 2\omega_2 = 10w$$

فصل پنجم: نظریه نمونهبرداری

مثال (۱۶-۵): در مثال (۱۵-۵) یک روش جهت نمونهبرداری از سیگنال‌های میان‌گذر مورد بررسی قرار گرفت.

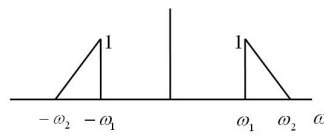
اکنون می‌خواهیم با روش دیگری در این مثال آشنا شویم. در این روش ابتدا سیگنال میان‌گذر را در یک تابع نمایی مختلط بصورت $e^{-j\omega_0 t}$ ضرب کرده و پس از عبور دادن از فیلتر پایین‌گذر $H_1(\omega)$ از آن نمونهبرداری می‌کنیم. مراحل گفته شده در شکل زیر نمایش داده شده‌اند.



شکل -۵-۵ سیستم نمونه بردار میان‌گذر

فرض کنید طیف $x(t)$ بصورت زیر باشد.

$$X(\omega)$$



شکل -۵-۶ طیف سیگنال میان‌گذر

اگر $\omega_0 = \frac{1}{2}(\omega_2 - \omega_1)$ و اگر فرکانس قطع فیلتر پایین‌گذر $H_1(\omega)$ باشد، مطلوب است

الف) رسم طیف $y(t)$.

ب) تعیین ماکریم دوره تنابوب نمونهبرداری T .

ج) رسم طیف $x_s(t)$.

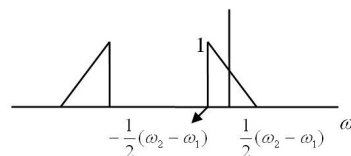
د) سیستمی جهت بازسازی $x(t)$ از $x_s(t)$.

حل: الف) طبق قضیه مدولاسیون می‌توان طیف $s(t)$ را بدست آورد.

$$S(\omega) = \frac{1}{2\pi} X(\omega) * 2\pi\delta(\omega + \omega_0) = X(\omega + \omega_0)$$

که شکل آن به این صورت است.

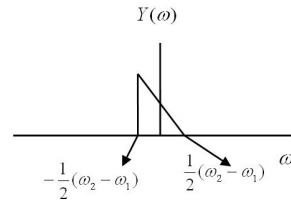
$$S(\omega)$$



شکل -۵-۷ طیف سیگنال میان‌گذر پس از انتقال به سمت چپ

در نتیجه خروجی فیلتر پایین‌گذر فقط شامل آن قسمت از طیف $S(\omega)$ باشد که حول مبدأ قرار دارد.

مقدمه ای بر تجزیه و تحلیل سیستمها



شکل ۵۸-۵ طیف سیگنال میانگذز پس از انتقال و عبور از فیلتر پائین گذر

ب) با توجه به اینکه $y(t)$ یک سیگنال پایین گذر است پس طبق نظریه نمونه برداری باید

$$\omega_s = \frac{2\pi}{T_s} \geq 2(\frac{1}{2}(\omega_2 - \omega_1)) = \omega_2 - \omega_1$$

$$T_s \leq \frac{\omega_2 - \omega_1}{2\pi}$$

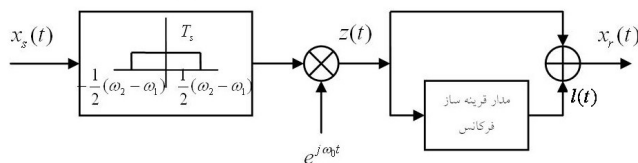
ج) با فرض اینکه $x_s(t)$ باشد طیف $T_s = \frac{\omega_2 - \omega_1}{2\pi}$ بصورت زیر خواهد بود.



شکل ۵۹-۵ طیف سیگنال میانگذز پس از انتقال و عبور از فیلتر پائین گذر و نمونه برداری

د) سیستم زیر جهت بازسازی $x(t)$ از $x_s(t)$ پیشنهاد می گردد.

$$H(\omega)$$

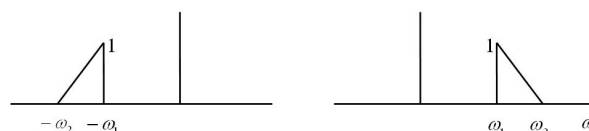


شکل ۶۰-۵ سیستمی زیر جهت بازسازی $x(t)$ از $x_s(t)$

طیف سیگنال ها در هر مرحله در شکل زیر رسم شده اند.

$$L(\omega)$$

$$Z(\omega)$$



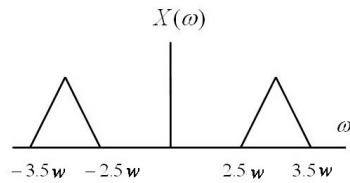
شکل ۶۱-۵ نمایش طیف های (a) $L(\omega)$ و (b) $Z(\omega)$

فصل پنجم: نظریه نمونهبرداری

نتیجتاً طیف $x_r(t)$ مشابه طیف $x(t)$ خواهد شد.

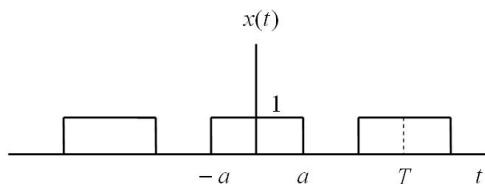
مسائل فصل پنجم

۱-۵ حداقل فرکانس نمونهبرداری موفقیت‌آمیز از سیگنال میان‌گذر $x(t)$ را بدست آورید. توجه کنید که بعد از نمونهبرداری باید بتوان $x(t)$ را با عبور نمونه‌هایش از یک فیلتر میان‌گذر بازسازی کرد.



شکل ۱-۵ مربوط به مسئله ۱-۵

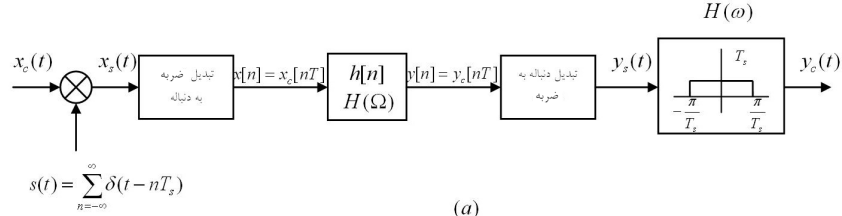
۲-۵ حداقل فرکانس نمونهبرداری موفقیت‌آمیز از سیگنال $x(t)$ چیست اگر $x(t)$ در حوزه زمان بصورت زیر باشد.



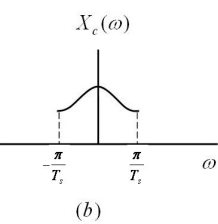
شکل ۲-۵ مربوط به مسئله ۲-۵

۳-۵ شکل زیریک سیستم حهت پردازش گسسته زمانی روی سیگنال‌های پیوسته زمانی رانشان می‌دهد. اگر طیف $X_c(\omega)$ و $H(\Omega)$ دریک دوره تنابوب بصورت زیرباشد. مطلوب است رسم طیف‌های $.Y_c(\omega)$ و $Y_s(\omega)$ و $Y(\Omega)$ و $X(\Omega)$ و $X_s(\omega)$

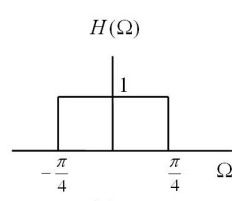
$$H(\omega)$$



(a)



(b)

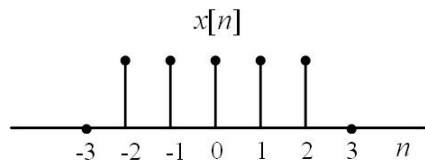


(c)

شکل ۳-۵ مربوط به مسئله ۳-۵

مقدمه ای بر تجزیه و تحلیل سیستمهای

۴-۵ دنباله $x[n]$ بصورت زیر مفروض است.



۴-۵ مربوط به مسئله ۴-۵

الف) تبدیل فوریه این دنباله را بیابید.

ب) از این دنباله در حوزه فرکانس نمونهبرداری میگردد. حداقل فاصله نمونهها جهت نمونهبرداری موفقیتآمیز چقدر باید باشد.

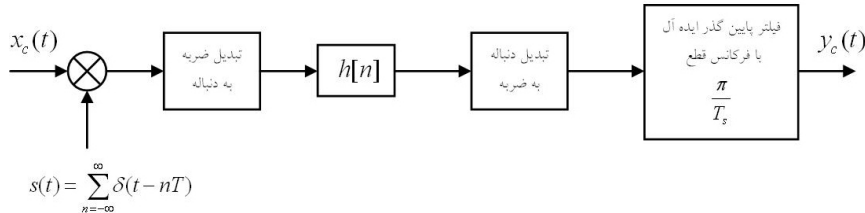
۵-۵ در سیستم شکل زیر $h[n]$ پاسخ ضربه یک سیستم LTI میباشد. این سیستم LTI توسط معادله تفاضلی زیر توصیف میشود.

$$y[n] = \frac{1}{2} y[n-1] + x[n]$$

اگر ورودی یک سیگنال باند محدود باشد بقسمی که

$$X_c(\omega) = 0 \quad |\omega| > \frac{\pi}{T_s}$$

پاسخ ضربه کلی سیستم که نسبت $\frac{Y_c(\omega)}{X_c(\omega)}$ میباشد را بیابید.



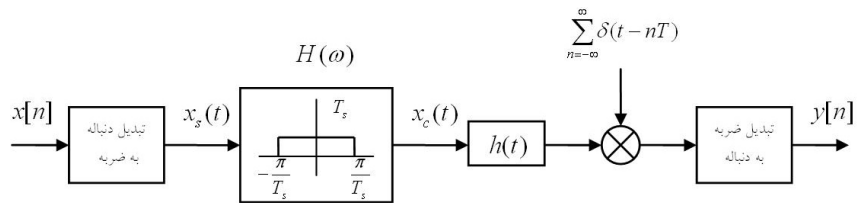
۵-۵ مربوط به مسئله ۵-۵

۶-۵ سیستم شکل زیر نوعی سیستم جهت پردازش پیوسته زمانی روی دنبالههای گسسته زمانی را نشان میدهد. در این سیستم $h(t)$ یک سیستم LTI میباشد که توسط معادله دیفرانسیل زیر توصیف میگردد.

$$\frac{d^2 y_c(t)}{dt^2} + 4 \frac{dy_c(t)}{dt} + 3 y_c(t) = x(t)$$

مطلوبست پاسخ ضربه گسسته زمانی معادل.

فصل پنجم: نظریه نمونهبرداری



شکل ۶-۵ مربوط به مسئله ۶-۵

۷-۵ یک سیگنال پیوسته زمان بصورت زیر را در نظر بگیرید.

$$x_c(t) = s_c(t) - a s_c(t - T_D)$$

و فرض کنید تبدیل فوریه $X_c(\omega)$ محدود به $\frac{\pi}{T_s}$ باشد. اگر $x_c(t)$ بوسیله یک قطار ضربه با دوره

تناوب T_s نمونهبرداری شود. بقسمی که

$$x[n] = x_c(nT)$$

مطلوبست پاسخ ضربه $h[n]$ یک سیستم گسسته زمان LTI بگونهای که

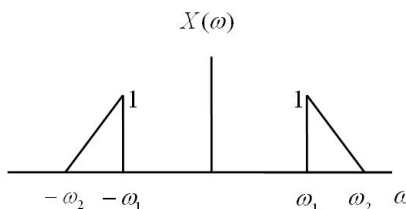
$$x[n] = \sum_{k=-\infty}^{+\infty} s[k] h[n-k]$$

که در آن $s[n] = s_c(nT)$ است و $T_D = T_s$ است.

۸-۵ مسئله ۷-۵ را به ازاء $T_D = \frac{T_s}{2}$ حل کنید. آیا پاسخ تفاوتی می‌کند؟

۹-۵ طیف یک سیگنال میان‌گذر مفروض $x(t)$ بصورت زیراست. مطلوب است رسم طیف دنباله

$$\cdot T_s = \frac{\pi}{\omega_2} \quad \text{که در آن } x[n] = x(nT_s)$$

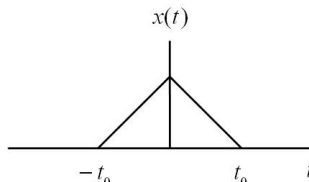


شکل ۶-۶ مربوط به مسئله ۹-۵

۱۰-۵ مسئله ۹-۵ را به ازاء $T_s = \frac{\pi}{2\omega_2}$ و $T_s = \frac{2\pi}{\omega_2}$ حل کرده و تفاوت هر یک را با نتیجه مسئله ۹-۵

بیان کنید.

۱۱-۵ سیگنال دوره محدود $x(t)$ بصورت زیر مفروض است



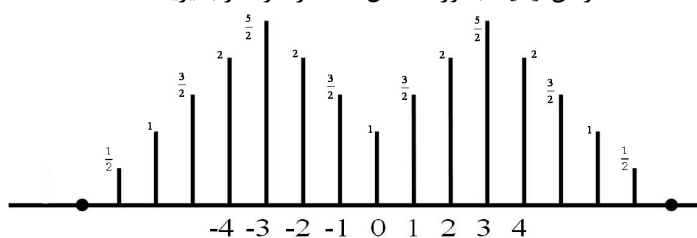
شکل ۱۱-۵ مربوط به مسئله ۱۱-۵

از این سیگنال در حوزه فرکانس نمونهبرداری بعمل می‌آید و سپس به کمک یک پنجره پایین‌گذر زمانی Low time window دوباره سیگنال اصلی بازسازی می‌گردد. مطلوب است رسم سیستم نمونهبرداری و نمایش طیف‌هایی که در مراحل مختلف بوجود می‌آیند (فرض کنید نمونهبرداری موفقیت‌آمیز باشد).

۱۲-۵ در مسئله ۱۱-۵ حداقل فاصله ضربه‌های فرکانسی جهت نمونهبرداری موفقیت‌آمیز چقدر باید باشد؟

۱۳-۵ از سیگنال $x(t) = \text{Sinc}t$ در حوزه زمان نمونهبرداری بعمل می‌آید و نمونه‌ها توسط یک مدار بازسازی می‌گردد. مطلوب است رسم طیف سیگنال‌های ایجاد شده در هر مرحله ZOH. ۱۴-۵ اگر نمونه‌های سیگنال در مسئله ۱۳-۵ از یک مدار بازسازی خطی عبور داده شوند. مطلوب است رسم طیف خروجی مدار بازساز خطی.

۱۵-۵ یک دنباله گسسته زمان $[n] x[n]$ بصورت شکل ۷۰-۵ را در نظر بگیرید.



شکل ۷۰-۵ مربوط به مسئله ۱۵-۵

از این دنباله با دوره تناوب ۲ نمونهبرداری بعمل می‌آید بگونه‌ای که

$$x_s[n] = \begin{cases} x[n] & n = 0, \pm 2, \pm 4, \dots \\ 0 & \text{otherwise} \end{cases}$$

مطلوب است رسم $x_s[n]$ و طیف آن.

۱۶-۵ یک دنباله گسسته زمان بوسیله سیستم شکل ۷۱-۵ نمونهبرداری می‌گردد و سپس بوسیله یک مدار بازساز $[n] h_s[n]$ بازسازی می‌شود.

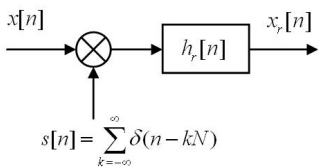
الف) حداقل فرکانس نمونهبرداری موفقیت‌آمیز را بدست آورید.

ب) نشان دهید که بدون توجه به فرکانس نمونهبرداری داریم:

$$x_r[mN] = x[mN]$$

فصل پنجم: نظریه نمونهبرداری

که در آن m اعداد صحیح مثبت و منفی می‌باشد.

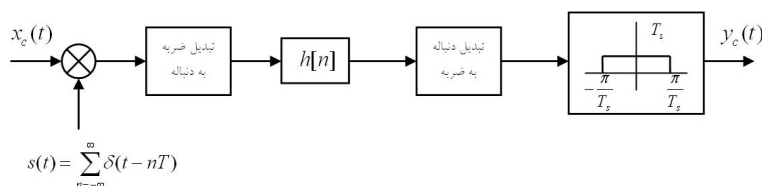


شکل ۷۱-۵ سیستم نمونه بردار مریبوط به مسئله ۱۶-۵

۱۷-۵ معادل گسسته زمانی یک سیستم پیوسته زمان با پاسخ ضربه بصورت زیر را بیابید (τ و A اعداد ثابت‌اند).

$$h_r(t) = A \tau \sin c\left(\frac{\omega}{2\pi}\tau\right)$$

راهنمایی: معادل گسسته زمانی یک سیستم پیوسته سیستمی است که اگر در سیستم شکل زیر قرارداده شود سیستم کلی دارای پاسخ ضربه‌ای بصورت $h(t)$ گردد.



شکل ۷۲-۵ مریبوط به مثال ۱۷-۵

۱۸-۵ حداقل فرکانس نمونهبرداری از سیگنالی بصورت زیر را بیابید.

$$x(t) = A \tau \text{Sinc}^4\left(\frac{\omega}{2\pi}\tau\right)$$

۱۹-۵: فرکانس مجازی ناشی از نمونهبرداری ناموفق از سیگنال زیر را بیابید.

$$x(t) = \cos(10^3 \pi t)$$

الف) اگر فرکانس نمونهبرداری $\omega_s = 10\pi$ باشد.

ب) اگر فرکانس نمونهبرداری $\omega_s = 100\pi$ باشد.

ج) اگر فرکانس نمونهبرداری $\omega_s = 1000\pi$ باشد.

د) اگر فرکانس نمونهبرداری $\omega_s = 1999\pi$ باشد.

۲۰-۵: یک دیسک که روی آن چهار گلبرگ نقاشی شده‌اند را در نظر بگیرید. این دیسک با سرعت ۱۵ دور بر ثانیه می‌چرخد. از یک نوار باریک این دیسک قبل مشاهده می‌باشد.

بدین ترتیب فرکانس نوسان علامت مشاهده شده از نوار باریک 60 هرتز می‌باشد. $v(t)$ موقعیت علامت مشاهده شده می‌باشد. فرض می‌کنیم $v(t)$ بصورت زیر باشد.

$$v(t) = \cos(\omega_0 t + \varphi) \quad \omega_0 = 120 \pi$$

مقدمه ای بر تجزیه و تحلیل سیستمهای

چشم بدليل محدودیت‌های فیزیکی نمی‌تواند نوسانات ۶۰ هرتز را مشاهده نماید. می‌توان این پدیده را با مدل کردن چشم بصورت یک فیلتر پایین‌گذر ایده‌آل در نظر گرفت. فرکانس قطع این فیلتر را می‌توان ۲۰ هرتز در نظر گرفت.

عمل نمونه‌برداری از $v(t)$ را می‌توان به کمک یک چراغ چشمک‌زن مدلسازی کرد. بنابراین اگر $s(t)$ بیانگر چراغ چشمک‌زن باشد داریم

$$s(t) = \sum_{k=-\infty}^{\infty} \delta(t - kT_s)$$

که در آن $\frac{1}{T_s}$ فرکانس چشمک‌های چراغ بر حسب هرتز است.

سیگنال نمونه‌برداری شده اکنون حاصلضرب $r(t) = v(t)s(t)$ می‌باشد.

مطلوبست

الف) تبدیل فوریه $v(t)$.

ب) تبدیل فوریه $s(t)$. اثر T_s را در آن مشخص کنید.

ج) طبق نظریه نمونه‌برداری، ماکزیمم مقدار T_s را جهت نمونه‌برداری موفقیت‌آمیز از $v(t)$ تعیین کنید. توجه کنید که بعد از نمونه‌برداری باید بتوان $r(t)$ را از روی نمونه‌های آن توسط یک فیلتر پایین‌گذر بازسازی کرد. طیف $r(t)$ را هنگامی که T_s کمتر از مقدار تعیین شده در فوق باشد رسم کنید.

د) اگر $\omega_s = \omega_0 + 20\pi$ باشد، فرکانس مجازی مشاهده شده چیست.

ه) قسمت (د) را برای $\omega_s = \omega_0 - 2\pi$ تکرار کنید.